



Gutachten zu Risiken durch Eiswurf und Eisfall am Standort Hirschweg WEA 6N

Referenz-Nummer:

F2E-2022-TGB-026, Rev. 0 - ungekürzte Fassung

Auftraggeber:

EFG Energie GmbH & Co.KG
An der Grotte 17, 33181 Bad Wünnenberg

Die Ausarbeitung des Gutachtens erfolgte durch:

Fluid & Energy Engineering GmbH & Co. KG
Borsteler Chaussee 178, 22453 Hamburg, www.f2e.de

Verfasser:

M.Sc. Rebecca Bode, Sachverständige,

Hamburg, 14.02.2022

Gepprüft:

Dr.-Ing. Thomas Hahm, Sachverständiger,

Hamburg, 14.02.2022

Für weitere Auskünfte:

Tel.: 040 53303680-0 Fax: 040 53303680-79

Rebecca Bode: bode@f2e.de oder Dr. Thomas Hahm: hahm@f2e.de

Urheber- und Nutzungsrecht:

Urheber des Gutachtens ist die Fluid & Energy Engineering GmbH & Co. KG. Der Auftraggeber erwirbt ein einfaches Nutzungsrecht entsprechend dem Gesetz über Urheberrecht und verwandte Schutzrechte (UrhG). Das Nutzungsrecht kann nur mit Zustimmung des Urhebers übertragen werden. Veröffentlichung und Bereitstellung zum uneingeschränkten Download in elektronischen Medien sind verboten. Eine Einsichtnahme der gekürzten Fassung des Gutachtens gemäß UVPG §23 (2) über die zentralen Internetportale von Bund und Ländern gemäß UVPG §20 Absatz (1) wird gestattet.



Inhaltsverzeichnis

| | | |
|-------|---|----|
| 1 | Aufgabenstellung..... | 3 |
| 2 | Grundlagen..... | 4 |
| 2.1 | Vereisung..... | 4 |
| 2.2 | Regelungen in den Normen..... | 5 |
| 2.3 | Grenzwerte und Risikobewertung..... | 7 |
| 2.3.1 | Grenzwerte individuelles Risiko..... | 7 |
| 2.3.2 | Grenzwerte kollektives Risiko..... | 9 |
| 2.3.3 | Risikobewertung..... | 10 |
| 2.3.4 | Risikomindernde Maßnahmen..... | 12 |
| 2.3.5 | Addition von Risiken..... | 14 |
| 2.4 | Berechnung der Flugbahnen von Eisstücken..... | 15 |
| 2.5 | Vereisungshäufigkeiten..... | 16 |
| 2.6 | Gültigkeit der Ergebnisse..... | 18 |
| 2.7 | Rotorblattheizung..... | 19 |
| 3 | Eingangsdaten..... | 20 |
| 3.1 | Ausgangssituation..... | 20 |
| 3.2 | Winddaten am Standort..... | 20 |
| 3.3 | Windparkkonfiguration und Schutzobjekte..... | 22 |
| 3.4 | Aufenthaltshäufigkeiten..... | 33 |
| 3.5 | Standortspezifische Grenzwerte für das kollektive Risiko..... | 34 |
| 3.6 | Vereisungsrelevante WEA-Systeme..... | 34 |
| 3.6.1 | WEA-interne Eiserkennungssysteme..... | 34 |
| 3.6.2 | Optionale Eiserkennungssysteme..... | 34 |
| 3.6.3 | Systeme zur Prävention und Enteisung..... | 35 |
| 3.6.4 | Betriebsführungssystem..... | 35 |
| 3.7 | Risikoreduzierende Maßnahmen..... | 35 |
| 4 | Durchgeführte Untersuchungen..... | 35 |
| 4.1 | Standortbesichtigung..... | 35 |
| 4.2 | Vereisungsbedingungen am Standort..... | 36 |
| 4.3 | Ermittlung der potentiellen Gefährdungsbereiche..... | 36 |
| 4.4 | Eiswurf..... | 38 |
| 4.5 | Eisfall..... | 38 |
| 5 | Weitere Maßnahmen..... | 39 |
| 6 | Zusammenfassung..... | 40 |
| 6.1 | Potentielle Gefährdungsbereiche..... | 40 |
| 6.2 | Eiswurf..... | 40 |
| 6.3 | Eisfall..... | 40 |



| | |
|---|----|
| 7 Formelzeichen und Abkürzungen..... | 41 |
| 8 Literaturangaben..... | 42 |
| Anhang A: Detaillierte Berechnungsergebnisse Eisfall..... | 44 |
| A.1 Berechnung der Auftreffhäufigkeiten..... | 44 |
| A.2 Schadenshäufigkeiten..... | 45 |

1 Aufgabenstellung

Die Fluid & Energy Engineering GmbH & Co. KG ist beauftragt worden, die vorliegende Windparkkonfiguration hinsichtlich einer Gefährdung durch Eiswurf und Eisfall ausgehend von sich in Betrieb befindlichen bzw. stillstehenden (trudelnden) Windenergieanlagen (WEA) zu betrachten und zu bewerten.



2 Grundlagen

2.1 Vereisung

Abhängig von den Vereisungsbedingungen kann es auf dem Rotorblatt einer WEA zu starken Vereisungen kommen, in deren Folge eine Gefahr durch sich lösende bis zu mehreren Kilogramm schwere Eisstücke besteht.

Während des Betriebes der WEA erfahren diese Eisstücke einen deutlichen Anfangsimpuls durch das schnell rotierende Blatt. In diesem Fall wird daher von Eiswurf gesprochen. Während des Stillstandes der WEA trudelt diese mit deutlich niedrigeren Drehzahlen. In diesem Fall wird daher von Eisfall gesprochen. In beiden Fällen (Eiswurf und Eisfall) wirken auf die abgelösten Eisstücke durch den Wind weitere Kräfte. Bei Sturm und auch entlang eines abfallenden Geländes können so nennenswerte Flugweiten erreicht werden.

Vereisung tritt ein, wenn entweder unterkühlte Wassertropfen auf das Rotorblatt aufschlagen oder die Oberflächentemperatur des Rotorblattes unterhalb des Reifpunktes liegt und Wasserdampf auf der Oberfläche in Form von Reif resublimiert.

Im Temperaturbereich von ca. 0° bis -10°C bildet sich aus den Wassertropfen beim Auftreffen auf das Rotorblatt Eis. Bis etwa -4°C kommt es dabei aufgrund der verzögerten Eisbildung zu großflächiger Klareisbildung. Bei niedrigeren Temperaturen dominiert hingegen die Raueisbildung, mit geringer Haftoberfläche und einem milchigeren und raueren Erscheinungsbild.

Unterhalb von -10°C können sich größere Ablagerungen von Raureif an den Profilkanten bilden. Der sich bei noch kälteren Temperaturen bildende Reif bildet typischerweise keine größeren Ablagerungen und spielt hinsichtlich einer Gefährdung durch Eisfall oder Eiswurf keine Rolle.

Grundsätzlich sollten bei der Gefährdung durch Eisfall bzw. Eiswurf daher zwischen großflächigen Eisplatten, die sich über einen großen Bereich der Profiltiefe ausbilden können, und schlankeren Eisstücken, die von der Profilkante abbrechen, unterschieden werden. Hinweise zu Form und Masse von Eisstücken finden sich z.B. in /1.1/.

Aufgrund der extrem hohen Variabilität der Vereisungstage von Jahr zu Jahr werden langjährige Messungen benötigt, die möglichst auf einen klimatologischen Zeitraum, also 30 Jahre, zu beziehen sind /2.1/. Derart langjährige Messungen oder Beobachtungen liegen in Deutschland z.B. in Bodennähe für die Klimastationen des Deutschen Wetterdienstes DWD vor. Messungen in Bodennähe unterliegen jedoch starken mikroskaligen Einflüssen, so dass sie bezüglich einer Vereisung schon wenige hundert Meter entfernt nicht mehr aussagekräftig sein können, wenn sich dort z.B.



aufgrund einer lokalen Senke kalte Luft sammelt. Diese mikroskaligen Effekte, die auf Nabenhöhe der Windenergieanlagen typischerweise keine Rolle mehr spielen, zu identifizieren und entsprechend zu korrigieren ist so gut wie nicht möglich. Hinzu kommt, dass die Daten der Klimastationen oft über mehr als 10km und auf andere Höhen über Meeresniveau übertragen werden müssen, so dass die Unsicherheiten in der Vorhersage der Vereisungstage nach dieser Methode insgesamt sehr groß sind.

Eine weitere mögliche Quelle stellen großflächige Vereisungskarten dar, wie sie z.B. in /1.1/ und /1.2/ dargestellt sind. Diese Karten liefern jedoch nur Hinweise und Tendenzen. In /1.2/ wird darauf hingewiesen, dass im Gegensatz zu den in den großflächigen Karten dargestellten Werten, die tatsächlichen Werte schon auf kurzen Distanzen stark schwanken können und die lokale Geländetopografie berücksichtigt werden sollte. Die daraus entstehenden Unterschiede in der Einschätzung der Vereisungstage können extrem groß sein, so dass diese Karten selbst zur Plausibilisierung lokaler Vereisungsdaten nur sehr bedingt geeignet sind.

Für Deutschland liegt mittlerweile eine hochaufgelöste Vereisungskarte des DWD vor, die die lokale Topografie berücksichtigt /1.8/. Sie stellt vor dem Hintergrund der dargestellten Zusammenhänge die zurzeit beste Datengrundlage zur Ermittlung der Vereisungstage für Standorte in Deutschland dar.

2.2 Regelungen in den Normen

In /1.1/ findet sich für Regionen mit einer hohen Vereisungshäufigkeit die Empfehlung, einen Mindestabstand von $1,5 \cdot (\text{Nabenhöhe} + \text{Rotordurchmesser})$ zu gefährdeten Bereichen einzuhalten oder die Windenergieanlage bei Vereisungsbedingungen abzuschalten.

Der vorgeschlagene Mindestabstand von $1,5 \cdot (\text{Nabenhöhe} + \text{Rotordurchmesser})$ fand in Deutschland Eingang in die Muster-Liste der technischen Baubestimmungen bzw. die Muster-Verwaltungsvorschrift Technischen Baubestimmungen /2.2/. Dort heißt es in der Anlage zur Richtlinie für Windenergieanlagen:

„Abstände zu Verkehrswegen und Gebäuden sind unbeschadet der Anforderungen aus anderen Rechtsbereichen wegen der Gefahr des Eisabwurfs einzuhalten, soweit eine Gefährdung der öffentlichen Sicherheit nicht auszuschließen ist. Abstände größer als $1,5 \times (\text{Rotordurchmesser plus Nabenhöhe})$ gelten im Allgemeinen in nicht besonders eisgefährdeten Regionen als ausreichend. In anderen Fällen ist die Stellungnahme eines Sachverständigen erforderlich.“

Soweit dieser Mindestabstand nicht eingehalten wird bzw. der Standort der Windenergieanlage in einer besonders eisgefährdeten Region liegt und der Mindestab-



stand daher keine Anwendung finden kann, ist also das Risiko durch Eiswurf standortspezifisch zu bewerten.

Weiterhin wird in /2.2/ ausgeführt, dass die gutachterliche Stellungnahme eines Sachverständigen zur Funktionssicherheit von Einrichtungen vorzulegen ist, durch die der Betrieb der Windenergieanlage bei Eisansatz sicher ausgeschlossen werden kann oder durch die ein Eisansatz verhindert werden kann. Dies hat immer dann zu erfolgen, wenn erforderliche Abstände wegen der Gefahr des Eisabwurfes nicht eingehalten werden.

Die gutachterliche Stellungnahme zur Funktionssicherheit von Einrichtungen zur Eiserkennung ist im Gegensatz zur gutachterlichen Stellungnahme bei Unterschreitung des in der Muster-Liste genannten Mindestabstandes von $1,5 \cdot (\text{Nabenhöhe} + \text{Rotordurchmesser})$ kein standortspezifischer Nachweis, sondern ein entweder vom Hersteller des Eiserkennungssystems bzw. für die Implementierung in eine spezifische Windenergieanlage vom Hersteller der Windenergieanlage einmalig für den jeweiligen Typ in Auftrag gegebenes Gutachten. Diese Systeme schließen damit den Betrieb bei potentiell gefährlichem Eisansatz aus, können aber nicht grundsätzlich Eisansatz verhindern. Das für eine Verhinderung des Eisansatzes in /2.2/ genannte Beispiel einer Rotorblattheizung ist an dieser Stelle typischerweise nicht als Sicherheitssystem konzipiert. Der Betrieb einer Rotorblattheizung wird daher durch einzelne Hersteller für Standorte, in deren Umgebung eventuell durch Eiswurf eine erhebliche Gefährdung besteht, sogar ausgeschlossen.

Damit ergibt sich die Situation, dass auch bei einem vorhandenen System zur Eiserkennung mit Eisfall (Ablösen von Eisstücken von der stillstehenden bzw. trudelnden Windenergieanlage) zu rechnen ist und damit auch in diesen Fällen bei Unterschreitung des Mindestabstandes von $1,5 \cdot (\text{Nabenhöhe} + \text{Rotordurchmesser})$ eine standortspezifische Bewertung des Risikos erfolgen sollte.

Der in der Abbildung 2.2.1 dargestellte Entscheidungsbaum für die Bewertung des Risikos durch Eiswurf und Eisfall fasst dies noch einmal zusammen.

Auf internationaler Ebene wurden durch die International Energy Agency (IEA) Empfehlungen für die Risikobewertung von Eisfall und Eiswurf erarbeitet /2.1/. Neben der Risikobewertung beschäftigen sich die Empfehlungen der IEA auch mit der mathematischen Modellierung und den eingehenden Randbedingungen. Die Empfehlungen der IEA /2.1/ werden im Folgenden berücksichtigt.

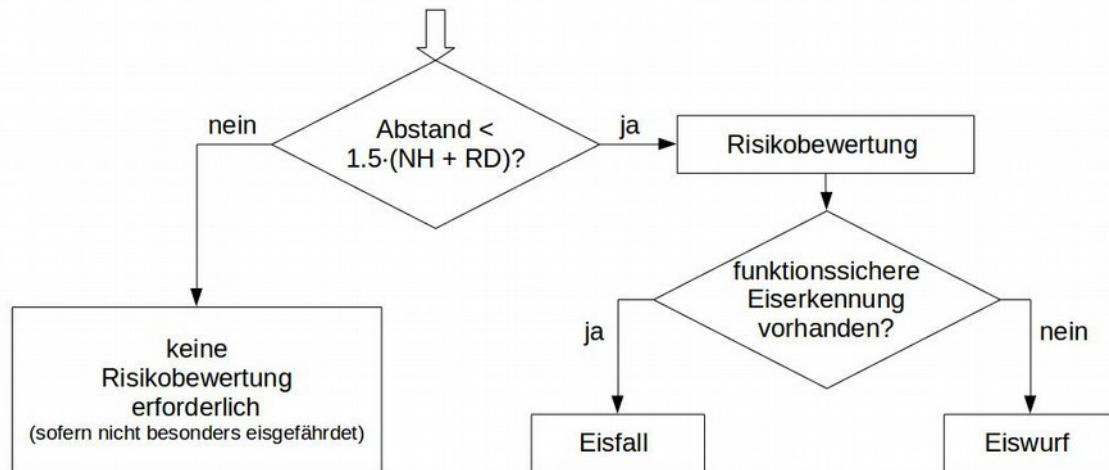


Abbildung 2.2.1: Entscheidungsbaum für die Bewertung des Risikos durch Eiswurf und Eisfall.

2.3 Grenzwerte und Risikobewertung

2.3.1 Grenzwerte individuelles Risiko

Für Personenschäden findet sich in der Literatur das Konzept der minimalen endogenen Sterblichkeit (MEM) /2.3/. Die minimale endogene Sterblichkeit in entwickelten Ländern findet sich in der Gruppe der fünf bis 15jährigen. Sie liegt bei $2 \cdot 10^{-4}$ Todesfällen pro Person und Jahr. Eine neue Technologie sollte diese endogene Sterblichkeit nicht nennenswert erhöhen. Es wird daher gefordert, dass die mit einer neuen Technologie verbundene Sterblichkeit nicht mehr als $1 \cdot 10^{-5}$ Todesfälle pro Person und Jahr betragen darf.

An anderer Stelle wird das gesellschaftlich akzeptierte Todesfallrisiko abhängig vom Grad der Freiwilligkeit und möglichen Einflussnahme auf die Handlung dargestellt /1.7/. Die Akzeptanz sinkt, wenn zum einen die Möglichkeit sich durch adäquates Handeln zu schützen gegen Null geht und zum anderen sich die Person nicht freiwillig der Gefährdung aussetzt. Der unter diesen Randbedingungen definierte Grenzwert liegt bei $1 \cdot 10^{-5}$ Todesfällen pro Person und Jahr und entspricht damit dem definierten MEM-Kriterium.

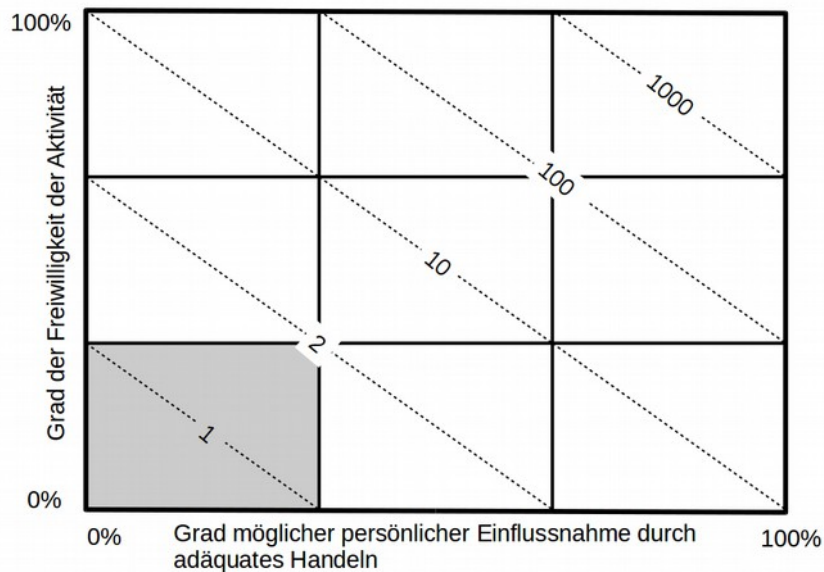


Abbildung 2.3.1.1: Akzeptiertes Todesfallrisiko pro 100 000 Personen /1.7/. Grau hinterlegter Bereich entspricht dem MEM-Kriterium /2.3/.

Betrachtet man das Risiko in der Nähe einer WEA durch Eisfall oder Eiswurf tödlich zu verunglücken, begibt man sich in der Regel weder freiwillig in diese Lage noch hat man durch persönliche Einflussnahme eine Möglichkeit das Risiko nennenswert zu minimieren. Der Ansatz des MEM-Kriteriums ist daher an dieser Stelle gerechtfertigt und sinnvoll.

Damit liegt eine inakzeptable Gefährdung durch Eiswurf oder Eisfall nur vor, wenn der so definierte Grenzwert überschritten wird.

Um hier eine konservative Vorgehensweise zu gewährleisten, werden folgende Annahmen getroffen:

- Ein Eisstück, das eine ungeschützte Person außerhalb eines Fahrzeuges oder Gebäudes im Bereich des Kopfes trifft, führt immer zu einer schweren Verletzung oder zum Tode.
- Ein Eisstück, das direkt auf ein Fahrzeug im Bereich der Frontscheibe auftrifft, führt stets zu einer schweren Verletzung oder zum Tode der Insassen. Die durchschnittliche Anzahl von Personen in einem Kraftfahrzeug ist statistisch erfasst /1.6/, so dass sich hieraus eine Anzahl betroffener Personen ableiten lässt.

Mit dem Ausschluss leichter Verletzungen sowie der fehlenden Unterscheidung zwischen schweren und tödlichen Verletzungen wird hier ein konservativer Ansatz gewählt. Eine weitere Differenzierung gestaltet sich an dieser Stelle sehr schwierig und lässt sich statistisch zurzeit nicht ausreichend absichern.



2.3.2 Grenzwerte kollektives Risiko

Bei der Bewertung von Schutzobjekten, bei denen sich eine größere Anzahl von Personen in der Nähe der WEA aufhält, wie es typischerweise bei Verkehrswegen der Fall ist, ist gemäß /2.1/ das daraus resultierende Kollektivrisiko zu bewerten. Entsprechende Grenzwerte für das Kollektivrisiko werden in /2.1/ definiert. Diese liegen für das Kollektivrisiko zwei Größenordnungen oberhalb des MEM-Kriteriums /2.1/ und somit bei $1 \cdot 10^{-3}$ Todesfällen pro Jahr.

Gemäß /2.1/ kann für das Risiko im Straßenverkehr der Grenzwert für das kollektive Risiko basierend auf vorliegenden Unfallstatistiken ermittelt werden. Diese Vorgehensweise findet Anwendung für Straßen des Fernverkehrs und angeschlossene Straßen, die dem Durchgangsverkehr dienen. Dies sind in Deutschland die Bundesautobahnen, die Bundesstraßen und die Landesstraßen.

Das aktuelle Risiko ist dabei auf Basis der Todesfälle und der Schwerverletzten im Straßenverkehr zu ermitteln. Entsprechend der grundsätzlichen Idee des MEM-Kriteriums wird auch hier gefordert, dass ein bestehendes Risiko nicht nennenswert erhöht werden darf. Der anzusetzende Grenzwert für eine inakzeptable Gefährdung durch Eiswurf oder Eisfall wird daher eine Größenordnung niedriger gewählt als das bestehende Risiko /2.1/.

Mit /1.3/ liegen entsprechende Unfallzahlen für Kfz-Benutzer gegliedert nach Straßenklasse, Ortslage und Unfallfolge vor. Tabelle 2.3.2.1 listet die entsprechenden absoluten Unfallzahlen pro Jahr für die betreffenden Straßengruppen.

Tabelle 2.3.2.1: Verunglückte Kfz-Benutzer gegliedert nach Straßenklasse pro Jahr /1.3/.

| Straßenklasse | Getötete | Schwerverletzte |
|--------------------------|----------|-----------------|
| Bundesautobahn | 344 | 5673 |
| Bundesstraße (außerorts) | 640 | 7742 |
| Landesstraße (außerorts) | 646 | 9210 |

In Verbindung mit der Inlandsfahrleistung auf den verschiedenen Straßenklassen lassen sich daraus die bestehenden Risiken bezogen auf die gefahrene Strecke bestimmen. Damit ist es möglich abhängig von der Verkehrsdichte straßenspezifische Risikowerte festzulegen. Die Streckenlänge ist dabei so festzulegen, dass jeweils nur eine WEA zur Gefährdung beitragen kann, um auch hier zu gewährleisten, dass das von jeder WEA ausgehende Risiko unabhängig bewertet werden kann. Werden die Risikogrenzwerte standortspezifisch bestimmt, so sind sie in Kapitel 3 dargestellt. Für alle anderen Straßenklassen kann der oben definierte Grenzwert für das Kollektivrisiko von $1 \cdot 10^{-3}$ zugrunde gelegt werden.



2.3.3 Risikobewertung

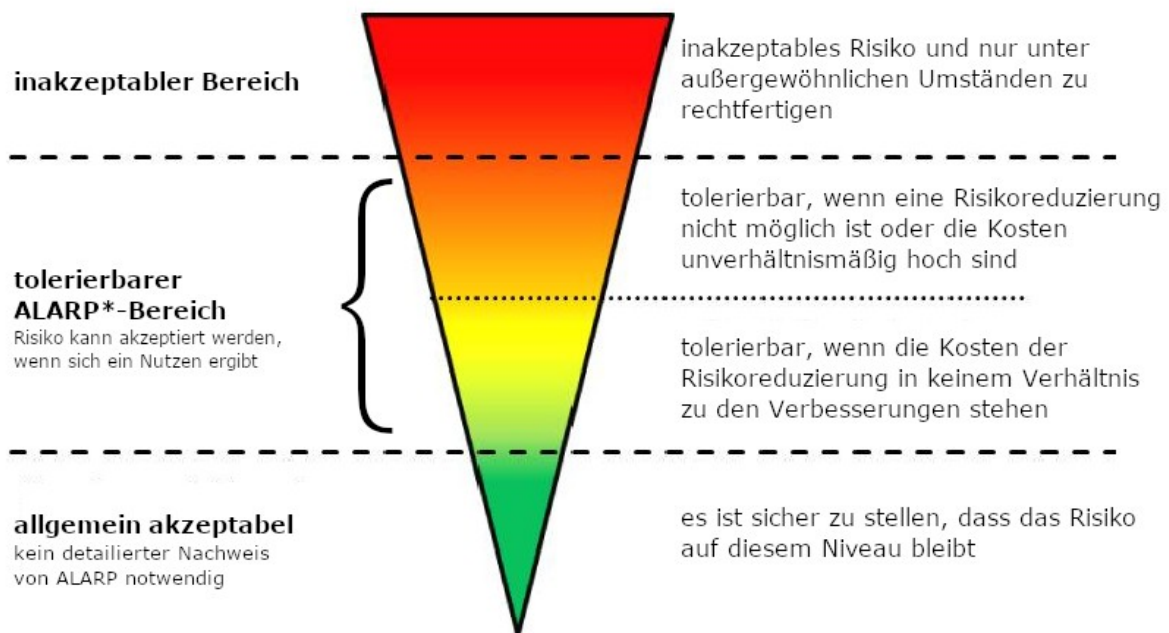
Im Folgenden wird in allen Fällen das individuelle Risiko und das kollektive Risiko ermittelt. Anschließend wird in Abhängigkeit von der Aufenthaltshäufigkeit von Personen das individuelle oder kollektive Risiko für eine Bewertung zugrunde gelegt. In Anlehnung an /2.1/ kann dabei folgende Aufteilung verwendet werden:

- Individuelles Risiko:
 - land- und forstwirtschaftlich genutzte Wege, Wanderwege, Fahrradwege und Straßen mit geringer Verkehrsdichte,
 - Objekte wie Scheunen, Hütten etc., die regelmäßig durch den Besitzer oder durch einen kleinen Personenkreis genutzt werden.
- Kollektives Risiko:
 - stark genutzte Gemeindestraßen, Kreisstraßen, Landesstraßen, Bundesstraßen und Autobahnen,
 - Objekte, die von generellem Interesse für die Öffentlichkeit sind und entsprechend durch eine größere Personengruppe genutzt werden (öffentliche Parkplätze, Industrieanlagen etc.).

Für die Bewertung des kollektiven Risikos sind dabei die Risiken aller zu betrachtenden Personengruppen zu addieren. Für die Bewertung des individuellen Risikos ist das sogenannte kritische Individuum maßgeblich, das aufgrund seiner Nutzung der Schutzobjekte dem höchsten Risiko ausgesetzt ist. Das individuelle Risiko ist im Gegensatz zum kollektiven Risiko daher nicht von der Gesamtanzahl der Personen abhängig, die die Schutzobjekte frequentieren. Auf kleineren Wegen, auf denen nur eine geringe Fahrgeschwindigkeit von Kfz zu unterstellen ist, ist das kritische Individuum z.B. in der Regel der Fußgänger.

Entsprechend dem Vorgehen der UK Health and Safety Executive (HSE) /1.9/ werden in /2.1/ unterhalb des inakzeptablen Bereiches weitere Risikobereiche definiert, die unterschiedliche Maßnahmen erfordern.

Das MEM-Kriterium definiert für das individuelle Risiko dabei die Obergrenze des sogenannten ALARP-Bereichs (As Low As Reasonably Practicable, s. Abbildung 2.3.3.1). Risiken die höher als das MEM-Kriterium liegen, sind demnach nicht akzeptabel.



*: ALARP: as low as reasonably practicable
Risiko so niedrig, wie vernünftigerweise möglich

Abbildung 2.3.3.1: ALARP-Prinzip nach /1.9/. Die Grenze zum roten inakzeptablen Bereich wird für das individuelle Risiko durch das MEM-Kriterium /2.3/ definiert.

Darunter folgt der ALARP-Bereich, welcher sich über zwei Größenordnungen der Risikowerte erstreckt.

Liegt das Risiko im oberen ALARP-Bereich, sollen Maßnahmen in Betracht gezogen werden, um das Risiko weiter zu reduzieren. Die Maßnahmen sollten sich an den bekannten und etablierten Techniken und den am Standort gegebenen Möglichkeiten orientieren.

Liegt das Risiko im unteren ALARP-Bereich, sind Maßnahmen zur Reduzierung des Risikos in der Regel nicht erforderlich. Im Rahmen des Gutachtens werden entsprechend nur im Einzelfall Maßnahmen vorgeschlagen.

Liegt das Risiko mehr als zwei Größenordnungen unterhalb des MEM-Kriteriums, ist es ohne weitere Maßnahmen allgemein akzeptabel.

Bei der Bewertung der individuellen und kollektiven Risiken wird entsprechend zwischen den vier in Tabelle 2.3.3.1 genannten Bereichen unterschieden.

Da Sachschäden hier in ihrer Schwere gegenüber Personenschäden vernachlässigbar sind, werden diese in der Regel nicht weiter bewertet und in den Detailergebnissen



im Anhang nicht dargestellt.

Tabelle 2.3.3.1: Risikobereiche für das individuelle und kollektive Risiko nach /2.1/.

| Individuelles Risiko | Kollektives Risiko | Bewertung |
|-------------------------|--|---|
| $> 10^{-5}$ | $> 10^{-3}$ oder standortspezifisch | Roter Bereich: Risiko inakzeptabel - Maßnahmen sind einzuleiten und deren Nutzen nachzuweisen |
| 10^{-6} bis 10^{-5} | 10^{-4} bis 10^{-3} oder standortspezifisch | Oranger Bereich: Risiko tolerierbar - Maßnahmen sind in Betracht zu ziehen |
| 10^{-7} bis 10^{-6} | 10^{-5} bis 10^{-4} oder standortspezifisch | Gelber Bereich: Risiko tolerierbar - Maßnahmen in der Regel nicht erforderlich |
| $< 10^{-7}$ | $< 10^{-5}$ oder standortspezifisch | Grüner Bereich: Risiko allgemein akzeptabel |

Das individuelle Risiko ist in der Regel für stark genutzte überregionale Verkehrswege nicht maßgeblich. Eine Ausnahme bilden hier die überregionalen Bahnstrecken, da hier nur wenige individuelle Personen, nämlich die Lokführer, gefährdet sind. Da es nicht praktikabel oder nicht möglich ist, das individuelle Risiko entlang einer gesamten Bahnstrecke zu bewerten, werden in diesem Fall die Grenzwerte für das individuelle Risiko um den Faktor zehn erniedrigt.

2.3.4 Risikomindernde Maßnahmen

Liegt das Risiko im inakzeptablen roten Bereich, ist ein Nachweis erforderlich, dass das Risiko durch geeignete Maßnahmen in den ALARP-Bereich verschoben werden kann. Gemäß /2.1/ kommen insbesondere folgende Maßnahmen in Frage, um das Risiko in den ALARP-Bereich zu verschieben:

- Fixierung der Azimut-Position des Rotors der WEA nach Abschaltung durch die Eiserkennung,
- Wahl eines kleineren WEA-Typs,
- Verschiebung der WEA,
- Verlegung des betroffenen Schutzobjektes.

In allen Fällen ist durch eine erneute Berechnung nachzuweisen, dass das Risiko anschließend nicht mehr im roten inakzeptablen Bereich liegt /2.1/.

Liegt das Risiko im oberen orangen ALARP-Bereich sind etablierte risikomindernde Maßnahmen umzusetzen. Zu den empfohlenen Maßnahmen zählen:



- Fixierung der Azimut-Position des Rotors der WEA nach Abschaltung durch die Eiserkennung, wenn dies aufgrund der Lage der Schutzobjekte möglich und sinnvoll ist,
- Einsatz einer funktionssicheren Eiserkennung,
- Warnschilder,
- Warnleuchten, die mit dem Eiserkennungssystem der WEA gekoppelt sind,
- Physische Barrieren wie Schranken sofern dies vor Ort umgesetzt werden kann.

Die Auswahl der Maßnahmen sollte sich an den bekannten und etablierten Techniken und den am Standort gegebenen Möglichkeiten orientieren.

Auf Freiflächen mit kontrolliertem und beschränktem Zutritt wie z.B. einem Betriebsgelände kann das Risiko auch durch Aufenthaltsbeschränkungen oder das Tragen eines Schutzhelmes reduziert werden. Bei der Quantifizierung dieser Maßnahmen kann gemäß /1.10/ davon ausgegangen werden, dass das Tragen eines Schutzhelmes mit einem Chancenverhältnis (odds ratio) für schwere und tödliche Kopfverletzungen von etwa $\frac{1}{3}$ verbunden ist.

Bei einer Fixierung der Azimut-Position wird die WEA nach einer Abschaltung durch die Eiserkennung in eine fixe Azimut-Position gefahren. Damit kann die Trefferhäufigkeit von Eisstücken auf die Schutzobjekte verringert werden, indem im Falle eines Verkehrsweges z.B. der Rotor parallel zum Fahrbahnrand ausgerichtet wird. Die Azimut-Position wird dabei definiert über den Azimutwinkel zwischen geografisch Nord und der Achsenrichtung der WEA.

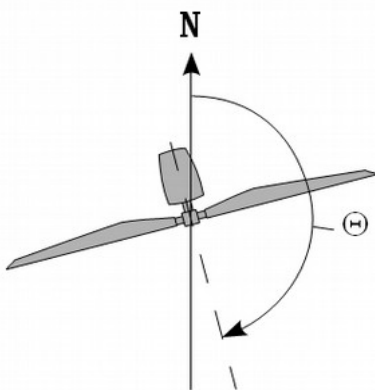


Abbildung 2.3.4.1: Definition des Azimutwinkels Θ .



2.3.5 Addition von Risiken

Entlang von Verkehrswegen kann in der Regel nicht ausgeschlossen werden, dass einzelne oder alle Personen mehrere WEA passieren und damit einer Summe von Risiken ausgesetzt sind.

Dies spielt für den überregionalen Verkehr keine Rolle, da hier mit Grenzwerten verglichen wird, die auf die gefahrene Strecke bezogen sind (siehe Kapitel 2.3.2).

WEA an Autobahnen, Bundesstraßen und Landesstraßen können daher stets einzeln betrachtet werden. Hier sind benachbarte WEA nur dann von Interesse, wenn sich die Gefährdungsbereiche der zu bewertenden WEA und einer benachbarten WEA überlappen.

Bei der Bewertung von Verkehrswegen des regionalen bzw. des Nahverkehrs werden die akzeptierten Grenzwerte für das individuelle bzw. kollektive Risiko herangezogen. Für Kreisstraßen, Gemeindestraßen und sonstige Verkehrswege ist daher zu prüfen, ob die übliche Nutzung dazu führt, dass die Gefährdungsbereiche mehrerer WEA passiert werden. Diese Betrachtung kann aufgrund des regionalen Charakters dieser Verkehrswege dabei auf den zu betrachtenden Windpark beschränkt werden.

In einem verzweigten Verkehrswegenetz innerhalb eines Windparks gibt es eine Vielzahl von Routen, die nicht alle betrachtet werden können. Es ist hier ausreichend eine repräsentative Route zu wählen, die eine konservative Bewertung gewährleistet.

In der Praxis kann für Verkehrswege des regionalen bzw. des Nahverkehrs folgendermaßen vorgegangen werden:












- Im ersten Schritt werden die Risiken ausgehend von jeder einzelnen WEA und bezogen auf die verschiedenen Schutzobjekte ermittelt. Wenn einzelne Risiken hier bereits im oberen ALARP-Bereich liegen, werden die entsprechenden Maßnahmen abgeleitet (siehe auch Kapitel 5).
- Im zweiten Schritt wird eine repräsentative Route festgelegt und hierfür das Risiko ermittelt und bewertet. Eventuell sind hieraus weitere risikomindernde Maßnahmen abzuleiten.
- Auf den zweiten Schritt kann verzichtet werden, wenn die Summe der Risiken über alle WEA die jeweils anzusetzenden Grenzwerte für das individuelle bzw. kollektive Risiko nicht übersteigen.
- Auf den zweiten Schritt kann ebenfalls verzichtet werden, wenn die Risiken der geplanten WEA bezüglich der relevanten Schutzobjekte jeweils im allgemein akzeptablen Bereich liegen, da der Beitrag zum Gesamtrisiko entlang eines repräsentativen Weges dann vernachlässigbar ist. Liegen die Risiken der



geplanten WEA bezüglich der relevanten Schutzobjekte im unteren ALARP-Bereich, ist im Einzelfall zu prüfen, ob der Beitrag zum Gesamtrisiko als nicht signifikant eingestuft werden kann.

Es ergeben sich folgende Begriffe und Symbole, die im Zusammenhang mit WEA im Gutachten verwendet werden:

Tabelle 2.3.5.1: Erläuterung der verwendeten Begriffe und Symbole.

| Erläuterung der Begriffe | | |
|--|--|--|
|  | „geplante WEA“ | WEA, deren Risiko im Rahmen des Gutachtens zu bewerten ist. |
|   | „benachbarte WEA“ | Alle weiteren WEA, die vom Auftraggeber übermittelt wurden. Es ist dabei unerheblich, ob sich einzelne benachbarte WEA ebenfalls in Planung oder Bau befinden. Entscheidend ist die Windparkkonfiguration, die als Vorbelastung für die geplanten WEA zu unterstellen ist. Alle benachbarten WEA sind in Tabelle 3.3.1 aufgeführt. |
|  | „Referenzpunkt der Winddaten“ | Jeweiliger Standort, auf dessen Koordinaten sich die verwendeten Winddaten beziehen. |
| Farbliche Zuordnung der Symbole | | |
|  | Zu bewertende WEA: geplante WEA, deren Risiko bewertet wird. | |
|  | Zu berücksichtigende WEA: Benachbarte WEA, die aufgrund ihres Abstandes zu den geplanten WEA Einfluss auf das Risiko im Gefährdungsbereich der zu bewertenden WEA () nehmen bzw. aufgrund der Nutzung der Schutzobjekte innerhalb des Windparks potentiell zu berücksichtigen sind. | |
|  | Benachbarte WEA, die aufgrund ihres Abstandes zu den geplanten WEA und ihrer Lage im Windpark nicht bei der Bewertung des Risikos der zu bewertenden WEA () zu berücksichtigen sind. Diese WEA sind eventuell nur zum Teil in Abbildung 3.3.1 dargestellt. | |
|  | Referenzpunkte der Winddaten. | |
|  | Referenzpunkt der Winddaten auf den Koordinaten einer (in diesem Fall geplanten) WEA. | |

2.4 Berechnung der Flugbahnen von Eisstücken

Für die Berechnung der Flugbahnen der Eisstücke wird basierend auf den Luftwiderstandsbeiwerten, der Geometrie und der Masse der Eisstücke die Lage des Eisstückes während der gesamten Bewegung erfasst und verfolgt, so dass sich im Vergleich zu einer rein ballistischen Flugbahn ein realistischeres Bild der Flugweiten ergibt.

Im Rahmen einer Monte-Carlo-Simulation werden dabei folgende Größen zufällig im Rahmen der am Standort zu erwartenden Wahrscheinlichkeitsverteilung variiert:

- Windgeschwindigkeit auf Nabenhöhe,



- Windrichtung,
- Position des Eisstückes auf dem Blatt,
- Geometrie und Dichte des Eisstückes,
- Drehzahl und Stellung des Rotors im Moment der Ablösung des Eisstückes.

Für das Geländemodell in der Umgebung der WEA werden Daten aus /1.5/ berücksichtigt. Eine eventuell vorhandene Schutzwirkung durch Bewuchs oder Gebäude wird dabei vernachlässigt.

Das Berechnungsmodell wurde im Rahmen der Entwicklung der IEA Recommendations /2.1/ anhand von Messkampagnen in realen Windparks validiert.

2.5 Vereisungshäufigkeiten

Datengrundlage für die Bewertung der Vereisungshäufigkeit bildet die Vereisungskarte des Deutschen Wetterdienstes /1.8/. Für die Bestimmung der Häufigkeit atmosphärischer Vereisung wurden hierzu in /1.8/ verschiedene Wetter-Meldungen ausgewertet:

- Allgemeine Wetterereignisse:
 - leichter, mäßiger oder starker gefrierender Regen,
 - leichter, mäßiger oder starker gefrierender Sprühregen,
 - leichter, mäßiger oder starker Schneeregen,
 - Eiskörner (gefrorene Regentropfen),
 - Nebel mit Reifansatz
- Wetterereignisse bei Temperaturen $\leq 0^\circ$ Celsius:
 - durchgehender oder unterbrochener leichter, mäßiger oder starker Sprühregen,
 - leichter, mäßiger oder starker Sprühregen mit Regen,
 - durchgehender oder unterbrochener leichter, mäßiger oder starker Regen,
 - Nebel oder Nebel mit Reifansatz
- Wetterereignisse bei Temperaturen $> 0^\circ$ Celsius:
 - durchgehender oder unterbrochener leichter, mäßiger oder starker Schneefall,
 - leichter, mäßiger oder starker Schneeregen- oder Schneeschauer,
- Wetterereignisse der letzten Stunde aber nicht zur Beobachtungszeit:
 - Schneefall,



- Schneeregen oder Eiskörner,
- gefrierender Regen,
- Schneeschauer bei Temperaturen $> 0^{\circ}$ Celsius,
- Nebel bei Temperaturen $\leq 0^{\circ}$ Celsius.

Damit werden eine Vielzahl von Ereignissen erfasst, die nicht in allen Fällen zu einer signifikanten Vereisung bzw. in einigen Fällen zu keiner Vereisung der WEA führen. Gleichzeitig beziehen sich die Meldungen auf Beobachterhöhe und nicht auf die Nabenhöhe der WEA. Es wurden daher Vergleiche mit verschiedenen Klimastationen des Deutschen Wetterdienstes durchgeführt. Hierzu wurden langjährige (30 Jahre) Messreihen zum Tagesmittel der relativen Luftfeuchte und der Lufttemperatur ausgewertet, um die Vereisungshäufigkeit auf Nabenhöhe zu bestimmen. Der Vergleich zeigt, dass die in /1.8/ auf Beobachterhöhe ermittelten Vereisungshäufigkeiten konservativere Ergebnisse liefern. Eine Umrechnung auf Nabenhöhe der WEA ist daher unter Berücksichtigung der in /1.8/ betrachteten Ereignisse nicht erforderlich.

Gemäß /1.8/ sind für Standorte in großen Höhen besondere Betrachtungen erforderlich, wenn diese besonders exponiert oder besonders geschützt liegen. Entsprechende Orte wurden in /1.8/ daher gefiltert. Die niedrigste betroffene Höhe liegt bei ca. 700m üNN, so dass das hier verwendete Verfahren im Folgenden für Orte bis zu einer Höhe von 700m üNN ohne Korrekturen angewendet wird. In diesem Höhenbereich weist die in /1.8/ verwendete exponentielle Regression eine gute Annäherung an die Daten auf und wird daher hier verwendet. Abbildung 2.5.1 zeigt die hierauf beruhende Vereisungskarte für Deutschland.

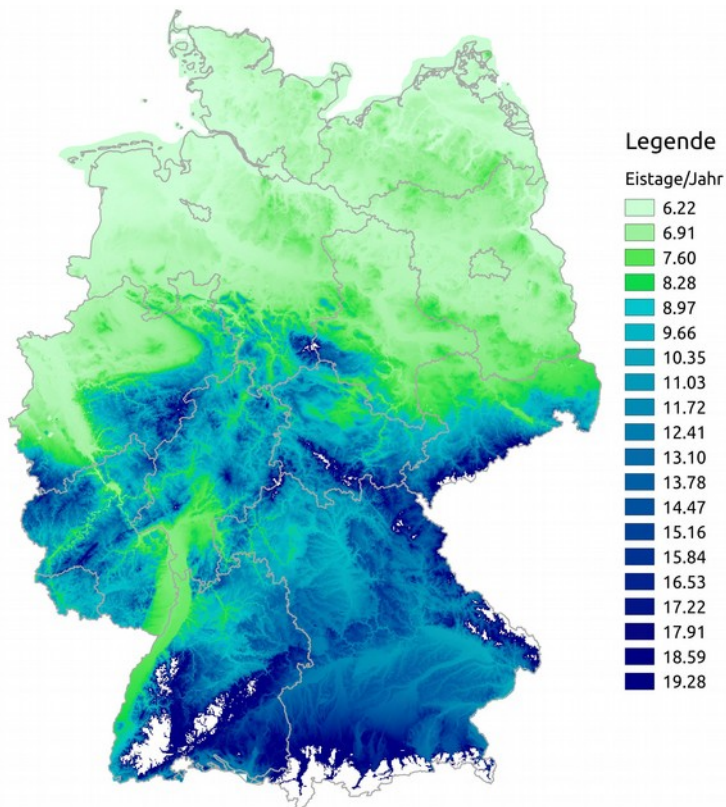


Abbildung 2.5.1: Eistage pro Jahr basierend auf /1.8/ für Höhen bis 700m üNN.

2.6 Gültigkeit der Ergebnisse

Die für die Risikobewertung erforderliche Häufigkeitsverteilung von Eisstücken in der Umgebung der WEA hängt von mehreren Faktoren ab. Dies sind neben den WEA-Daten (Koordinaten, WEA-Typ, Nabenhöhe, Nennleistung, Betriebsweise der WEA sowie Vorhandensein und Art des Eiserkennungssystems), die Windbedingungen (Häufigkeitsverteilung der Windrichtung, sektorielle Weibull-Parameter der Windgeschwindigkeitsverteilung) und die Vereisungsbedingungen am Standort. Mit letzterem sind neben der Anzahl der Vereisungstage auch die zu erwartende Eismasse auf dem Rotorblatt sowie die Massen- und Formverteilung der sich lösenden Eisstücke gemeint. Weiterhin ist die Risikobewertung abhängig von der Aufenthaltshäufigkeit und dem Bewegungsmuster von Personen im Umfeld der WEA.

Jede Änderung dieser Randbedingungen erfordert daher eine Neubewertung des Risikos.

Für alle Parameter, die einen Einfluss auf die Auftreffpunkte der Eisstücke haben, lassen sich keine pauschalen konservativen Werte festlegen /2.1/. Dies bedeutet



insbesondere, dass eine Reduzierung der Nabhöhe nicht automatisch zu einer Reduzierung des Risikos führt. Auch sind die Ergebnisse eines Risikos durch Eiswurf nicht unbedingt abdeckend für das Risiko durch Eisfall von derselben WEA am selben Standort.

In den Berechnungen zum Risiko durch Eisfall wird angenommen, dass die gesamte auf den Rotorblättern im Vereisungsfall unterstellte Eismasse in Form von Eisstücken abgeworfen wird.

2.7 Rotorblattheizung

Zurzeit liegen keine Erkenntnisse vor, wie die Verteilung von Eisstückgrößen oder deren Dichte durch eine Rotorblattheizung beeinflusst wird. Es kann aber davon ausgegangen werden, dass ein beheiztes Rotorblatt weniger stark vereist. Die Berechnungen decken daher den Einsatz einer Rotorblattheizung im Trudelbetrieb bzw. bei Stillstand der WEA und manuellem Wiederauffahren ab.



3 Eingangsdaten

3.1 Ausgangssituation

Am Standort Hirschweg WEA 6N (Nordrhein-Westfalen) plant der Auftraggeber die Errichtung einer Windenergieanlage (WEA 164).

Am Standort befinden sich 159 weitere benachbarte WEA (WEA 1 – 6, 9 – 75, 78 – 163).

Die vom Auftraggeber übermittelten Daten zur Windparkkonfiguration und die Schutzobjekte sind in Tabelle 3.2.1 bzw. Abbildung 3.3.1 dargestellt. Die WEA 7, 8, 76 und 77 werden vor der Errichtung der WEA 164 zurückgebaut und sind in Tabelle 3.2.1 und Abbildung 3.3.1 nicht mit dargestellt.

In der Umgebung befinden sich die Landesstraßen L751 und L636, der Hirschweg, der Zinsdorfer Weg, verschiedene Wirtschaftswege und Treckerwege sowie ein Schuppen, welche im Rahmen dieser Untersuchung in Abstimmung mit dem Auftraggeber als Schutzobjekte definiert wurden (siehe Abbildung 3.3.1).

Die vom Auftraggeber übermittelten Daten zur Windparkkonfiguration und die Schutzobjekte sind in Tabelle 3.3.1 bzw. Abbildung 3.3.1 dargestellt.

Die WEA 164 liegt in unmittelbarer Nähe zu den Schutzobjekten und wird im Folgenden hinsichtlich einer Gefährdung durch Eiswurf und Eisfall betrachtet.

3.2 Winddaten am Standort

Die relativen Häufigkeiten der Windrichtung und Windgeschwindigkeiten am Standort wurden /3.1/ entnommen. Datengrundlage zur Abschätzung des Windpotentials am Standort Hirschweg WEA 6N bilden die Daten des anemos Windatlas für Deutschland mit einer räumlichen Auflösung von 3km und einer zeitlichen Auflösung von 10 Minuten. Der Referenzzeitraum deckt 20 Jahre von 2000 - 2020 ab /3.1/.

Entsprechend den Empfehlungen aus /2.1/ wurden die Daten für Perioden gefiltert, bei denen Eiswurf oder Eisfall potentiell auftreten kann. Die gefilterten Daten sind in Tabelle 3.5.1 aufgetragen und werden als richtig und repräsentativ für die freie Anströmung bei potentiellen Vereisungsbedingungen am Standort Hirschweg WEA 6N vorausgesetzt.



Tabelle 3.2.1: Winddaten am Standort (*f*: Häufigkeit der Windrichtung; *A* und *k*: Skalen- und Formparameter der Weibull-Verteilung).

| Wind-Datensatz Nr. | Parameter | N | NNO | ONO | O | OSO | SSO | S | SSW | WSW | W | WNW | NNW | Koordinaten (UTM ETRS89/WGS84 Zone 32) | |
|--------------------|--------------|-------|-------|-------|-------|-------|-------|-------|-------|-------|-------|-------|-------|---|----------|
| | | | | | | | | | | | | | | Höhe über Grund [m] | |
| 1 | A [m/s] | 5.27 | 5.36 | 6.03 | 7.16 | 8.02 | 8.46 | 9.55 | 9.08 | 9.77 | 9.86 | 8.58 | 6.15 | Höhe über Grund [m] | 167 |
| | k [-] | 2.601 | 3.009 | 2.646 | 2.495 | 2.997 | 3.049 | 2.997 | 3.101 | 3.244 | 2.731 | 2.732 | 2.327 | Ost | 32481266 |
| | f (100% = 1) | 0.040 | 0.039 | 0.057 | 0.073 | 0.090 | 0.072 | 0.062 | 0.070 | 0.122 | 0.173 | 0.138 | 0.064 | Nord | 5710503 |

Die Parameter der Weibull-Verteilung werden genutzt, um die Häufigkeitsverteilung der Windrichtungen auf die jeweiligen Windgeschwindigkeiten umzurechnen.



















3.3 Windparkkonfiguration und Schutzobjekte


















Tabelle 3.3.1: Windparkkonfiguration.


















| | Lfd. Nr. WEA | Bezeichnung | Koordinaten (UTM ETRS89/WGS84 Zone 32) | | Hersteller | WEA-Typ | P _N [MW] | NH [m] | RD [m] | Wind- Datensatz Nr. |
|--|-----------------|-----------------|---|---------|------------|---------|------------------------|-----------|-----------|------------------------|
| | | | East | North | | | | | | |
| | 1 | 00181-13-14 (1) | 32485460 | 5706529 | ENERCON | E-82 E2 | 2.3 | 138.4 | 82.0 | --- |
| | 2 | 00181-13-14 (2) | 32485439 | 5706277 | ENERCON | E-82 E2 | 2.3 | 138.4 | 82.0 | --- |
| | 3 | 00299-11-14 A | 32485679 | 5708716 | ENERCON | E-82 E2 | 2.3 | 138.4 | 82.0 | --- |
| | 4 | 00299-11-14 B | 32486259 | 5708749 | ENERCON | E-82 E2 | 2.3 | 138.4 | 82.0 | --- |
| | 5 | 00299-11-14 C | 32485888 | 5708332 | ENERCON | E-82 E2 | 2.3 | 138.4 | 82.0 | --- |
| | 6 | 00299-11-14 D | 32486930 | 5709284 | ENERCON | E-82 E2 | 2.3 | 138.4 | 82.0 | --- |
| | 9 | 01166-10-14A | 32475927 | 5709773 | ENERCON | E-82 E2 | 2.3 | 138.4 | 82.0 | --- |
| | 10 | 01166-10-14B | 32475493 | 5709354 | ENERCON | E-82 E2 | 2.3 | 138.4 | 82.0 | --- |
| | 11 | 01166-10-14C | 32475822 | 5709004 | ENERCON | E-82 E2 | 2.3 | 138.4 | 82.0 | --- |
| | 12 | 01418-10-14 | 32483070 | 5711360 | ENERCON | E-82 E2 | 2.3 | 138.4 | 82.0 | --- |
| | 13 | 01709-13-14 (1) | 32490753 | 5714793 | ENERCON | E-101 | 3.05 | 149.0 | 101.0 | --- |
| | 14 | 01709-13-14 (2) | 32490516 | 5715225 | ENERCON | E-101 | 3.05 | 149.0 | 101.0 | --- |
| | 15 | 01709-13-14 (3) | 32491336 | 5715239 | ENERCON | E-101 | 3.05 | 149.0 | 101.0 | --- |
| | 16 | 01709-13-14 (4) | 32491029 | 5715615 | ENERCON | E-101 | 3.05 | 149.0 | 101.0 | --- |



































| | Lfd. Nr. WEA | Bezeichnung | Koordinaten (UTM ETRS89/WGS84 Zone 32) | | Hersteller | WEA-Typ | P _N [MW] | NH [m] | RD [m] | Wind- Datensatz Nr. |
|--|-----------------|-----------------|---|---------|------------|---------|------------------------|-----------|-----------|------------------------|
| | | | East | North | | | | | | |
| | 17 | 01709-13-14 (5) | 32491680 | 5715805 | ENERCON | E-101 | 3.05 | 149.0 | 101.0 | --- |
| | 18 | 01709-13-14 (7) | 32490373 | 5716147 | ENERCON | E-101 | 3.05 | 149.0 | 101.0 | --- |
| | 19 | 01728-11-14 A | 32480479 | 5710600 | ENERCON | E-101 | 3.05 | 135.4 | 101.0 | --- |
| | 20 | 01728-11-14 B | 32480524 | 5710972 | ENERCON | E-101 | 3.05 | 135.4 | 101.0 | --- |
| | 21 | 01909-13-14 (A) | 32483006 | 5711690 | ENERCON | E-82 E2 | 2.3 | 138.4 | 82.0 | --- |
| | 22 | 01909-13-14 (B) | 32483164 | 5711538 | ENERCON | E-82 E2 | 2.3 | 138.4 | 82.0 | --- |
| | 23 | 02135-13-14 | 32487471 | 5712695 | ENERCON | E-92 | 2.35 | 138.4 | 92.0 | --- |
| | 24 | 02184-13-14 | 32483706 | 5711378 | ENERCON | E-82 E2 | 2.3 | 138.4 | 82.0 | --- |
| | 25 | 02186-13-14 | 32482867 | 5711992 | ENERCON | E-82 E2 | 2.3 | 108.4 | 82.0 | --- |
| | 26 | 02526-10 | 32475997 | 5714298 | ENERCON | E-82 E2 | 2.3 | 138.4 | 82.0 | --- |
| | 27 | 02609-10-14 A | 32479309 | 5714777 | ENERCON | E-82 E2 | 2.3 | 138.4 | 82.0 | --- |
| | 28 | 02609-10-14 B | 32479766 | 5714736 | ENERCON | E-82 E2 | 2.3 | 138.4 | 82.0 | --- |
| | 29 | 02609-10-14 C | 32479713 | 5715419 | ENERCON | E-82 E2 | 2.3 | 108.4 | 82.0 | --- |
| | 30 | 02609-10-14 D | 32480131 | 5715175 | ENERCON | E-82 E2 | 2.3 | 108.4 | 82.0 | --- |
| | 31 | 02610-10-14 A | 32479031 | 5714338 | ENERCON | E-82 E2 | 2.3 | 138.4 | 82.0 | --- |
| | 32 | 1424-07A | 32478400 | 5715024 | ENERCON | E-82 | 2.0 | 138.4 | 82.0 | --- |
| | 33 | 1424-07B | 32478496 | 5714824 | ENERCON | E-82 | 2.0 | 138.4 | 82.0 | --- |

| | Lfd. Nr. WEA | Bezeichnung | Koordinaten (UTM ETRS89/WGS84 Zone 32) | | Hersteller | WEA-Typ | P _N [MW] | NH [m] | RD [m] | Wind- Datensatz Nr. |
|---|-----------------|-----------------|---|---------|------------|--------------------|------------------------|-----------|-----------|------------------------|
| | | | East | North | | | | | | |
|  | 34 | 1424-07C | 32478546 | 5714588 | ENERCON | E-82 | 2.0 | 138.4 | 82.0 | --- |
|  | 35 | 1424-07D | 32478907 | 5714984 | ENERCON | E-82 | 2.0 | 138.4 | 82.0 | --- |
|  | 36 | 1424-07E | 32478864 | 5715860 | ENERCON | E-82 | 2.0 | 138.4 | 82.0 | --- |
|  | 37 | 1424-07F | 32479185 | 5715818 | ENERCON | E-82 | 2.0 | 138.4 | 82.0 | --- |
|  | 38 | 1424-07G | 32479103 | 5715527 | ENERCON | E-82 | 2.0 | 138.4 | 82.0 | --- |
|  | 39 | 1424-07H | 32479326 | 5715394 | ENERCON | E-82 | 2.0 | 138.4 | 82.0 | --- |
|  | 40 | 1424-07I | 32479530 | 5715734 | ENERCON | E-82 | 2.0 | 138.4 | 82.0 | --- |
|  | 41 | 1424-07J | 32479622 | 5716040 | ENERCON | E-82 | 2.0 | 138.4 | 82.0 | --- |
|  | 42 | 1477-04 | 32483281 | 5711214 | Vestas | V90 | 2.0 | 80.0 | 90.0 | --- |
|  | 43 | 170-94-04 | 32482792 | 5712847 | Siemens | AN BONUS 600/41 | 0.6 | 50.0 | 41.0 | --- |
|  | 44 | 1959-03 | 32482405 | 5712454 | ENERCON | E-40/6.44 | 0.6 | 77.7 | 44.0 | --- |
|  | 45 | 1983-10-14 (1) | 32476418 | 5709810 | ENERCON | E-82 E2 | 2.3 | 138.4 | 82.0 | --- |
|  | 46 | 1983-10-14 (10) | 32478828 | 5709540 | ENERCON | E-82 E2 | 2.3 | 138.4 | 82.0 | --- |
|  | 47 | 1983-10-14 (11) | 32477740 | 5708828 | ENERCON | E-82 E2 | 2.3 | 138.4 | 82.0 | --- |
|  | 48 | 1983-10-14 (12) | 32477902 | 5710363 | ENERCON | E-82 E2 | 2.3 | 138.4 | 82.0 | --- |
|  | 49 | 1983-10-14 (13) | 32478299 | 5710958 | ENERCON | E-82 E2 | 2.3 | 138.4 | 82.0 | --- |

| | Lfd. Nr. WEA | Bezeichnung | Koordinaten (UTM ETRS89/WGS84 Zone 32) | | Hersteller | WEA-Typ | P _N [MW] | NH [m] | RD [m] | Wind- Datensatz Nr. |
|---|-----------------|-----------------|---|---------|------------|----------|------------------------|-----------|-----------|------------------------|
| | | | East | North | | | | | | |
|  | 50 | 1983-10-14 (14) | 32478412 | 5710450 | ENERCON | E-82 E2 | 2.3 | 108.4 | 82.0 | --- |
|  | 51 | 1983-10-14 (15) | 32478851 | 5711366 | ENERCON | E-82 E2 | 2.3 | 138.4 | 82.0 | --- |
|  | 52 | 1983-10-14 (16) | 32478732 | 5710839 | ENERCON | E-82 E2 | 2.3 | 138.4 | 82.0 | --- |
|  | 53 | 1983-10-14 (17) | 32478990 | 5710506 | ENERCON | E-82 E2 | 2.3 | 138.4 | 82.0 | --- |
|  | 54 | 1983-10-14 (18) | 32479614 | 5710710 | ENERCON | E-82 E2 | 2.3 | 138.4 | 82.0 | --- |
|  | 55 | 1983-10-14 (19) | 32479500 | 5711116 | ENERCON | E-82 E2 | 2.3 | 138.4 | 82.0 | --- |
|  | 56 | 1983-10-14 (20) | 32475904 | 5709364 | ENERCON | E-82 E2 | 2.3 | 78.3 | 82.0 | --- |
|  | 57 | 1983-10-14 (21) | 32479291 | 5711313 | ENERCON | E-82 E2 | 2.3 | 138.4 | 82.0 | --- |
|  | 58 | 1983-10-14 (3) | 32477029 | 5709783 | ENERCON | E-82 E2 | 2.3 | 138.4 | 82.0 | --- |
|  | 59 | 1983-10-14 (4) | 32477188 | 5709283 | ENERCON | E-82 E2 | 2.3 | 138.4 | 82.0 | --- |
|  | 60 | 1983-10-14 (5) | 32477695 | 5709827 | ENERCON | E-82 E2 | 2.3 | 138.4 | 82.0 | --- |
|  | 61 | 1983-10-14 (6) | 32477712 | 5709376 | ENERCON | E-82 E2 | 2.3 | 138.4 | 82.0 | --- |
|  | 62 | 1983-10-14 (7) | 32478244 | 5709855 | ENERCON | E-82 E2 | 2.3 | 138.4 | 82.0 | --- |
|  | 63 | 1983-10-14 (8) | 32478230 | 5709345 | ENERCON | E-82 E2 | 2.3 | 138.4 | 82.0 | --- |
|  | 64 | 1983-10-14 (9) | 32478851 | 5709956 | ENERCON | E-82 E2 | 2.3 | 138.4 | 82.0 | --- |
|  | 65 | 2015-96 | 32483433 | 5712350 | Nordtank | NTK 1500 | 1.5 | 68.0 | 32.0 | --- |
|  | 66 | 2019-08A | 32475940 | 5715177 | ENERCON | E-82 E2 | 2.3 | 138.4 | 82.0 | --- |

















| | Lfd. Nr. WEA | Bezeichnung | Koordinaten (UTM ETRS89/WGS84 Zone 32) | | Hersteller | WEA-Typ | P _N [MW] | NH [m] | RD [m] | Wind- Datensatz Nr. |
|---|-----------------|-------------|---|---------|------------|------------|------------------------|-----------|-----------|------------------------|
| | | | East | North | | | | | | |
|  | 67 | 2019-08B | 32475706 | 5714824 | ENERCON | E-82 E2 | 2.3 | 138.4 | 82.0 | --- |
|  | 68 | 2019-08C | 32475557 | 5714336 | ENERCON | E-82 E2 | 2.3 | 138.4 | 82.0 | --- |
|  | 69 | 2019-08D | 32475921 | 5714606 | ENERCON | E-82 E2 | 2.3 | 138.4 | 82.0 | --- |
|  | 70 | 2019-08F | 32476264 | 5714928 | ENERCON | E-82 E2 | 2.3 | 138.4 | 82.0 | --- |
|  | 71 | 2019-08G | 32476369 | 5714654 | ENERCON | E-82 E2 | 2.3 | 138.4 | 82.0 | --- |
|  | 72 | 2019-08H | 32476453 | 5714368 | ENERCON | E-82 E2 | 2.3 | 138.4 | 82.0 | --- |
|  | 73 | 2019-08I | 32476611 | 5715203 | ENERCON | E-82 E2 | 2.3 | 138.4 | 82.0 | --- |
|  | 74 | 2019-08J | 32476940 | 5715061 | ENERCON | E-82 E2 | 2.3 | 138.4 | 82.0 | --- |
|  | 75 | 2019-08K | 32476783 | 5714718 | ENERCON | E-82 E2 | 2.3 | 138.4 | 82.0 | --- |
|  | 78 | 2459-97-04 | 32482480 | 5712592 | Tacke | TW 600e | 0.6 | 60.0 | 46.0 | --- |
|  | 79 | 2837-00 | 32482450 | 5712238 | ENERCON | E-58/10.58 | 1.0 | 70.5 | 58.6 | --- |
|  | 80 | 324-99-04 | 32488214 | 5709663 | Vestas | NM 750/48 | 0.75 | 70.0 | 48.2 | --- |
|  | 81 | 326-99-04 | 32488161 | 5709846 | Vestas | NM 750/48 | 0.75 | 70.0 | 48.2 | --- |
|  | 82 | 327-99-04 | 32488451 | 5709854 | Vestas | NM 750/48 | 0.75 | 70.0 | 48.2 | --- |
|  | 83 | 328-99-04 | 32488125 | 5710132 | Vestas | NM 750/48 | 0.75 | 70.0 | 48.2 | --- |
|  | 84 | 330-99-04 | 32487732 | 5710027 | Vestas | NM 750/48 | 0.75 | 70.0 | 48.2 | --- |
|  | 85 | 331-99-04 | 32487751 | 5710258 | Vestas | NM 750/48 | 0.75 | 70.0 | 48.2 | --- |















| | Lfd. Nr. WEA | Bezeichnung | Koordinaten (UTM ETRS89/WGS84 Zone 32) | | Hersteller | WEA-Typ | P _N [MW] | NH [m] | RD [m] | Wind- Datensatz Nr. |
|---|-----------------|----------------------|---|---------|------------|------------|------------------------|-----------|-----------|------------------------|
| | | | East | North | | | | | | |
|  | 86 | 333-99-04 | 32488286 | 5710028 | Vestas | NM 750/48 | 0.75 | 70.0 | 48.2 | --- |
|  | 87 | 334-99-04 | 32487967 | 5710240 | Vestas | NM 750/48 | 0.75 | 70.0 | 48.2 | --- |
|  | 88 | 335-99-04 | 32487948 | 5709930 | Vestas | NM 750/48 | 0.75 | 70.0 | 48.2 | --- |
|  | 89 | 3459-94-04 | 32481957 | 5712412 | Tacke | TW 600 | 0.6 | 50.0 | 43.0 | --- |
|  | 90 | 3743-99-04 | 32483522 | 5711845 | Vestas | V66 | 1.65 | 78.0 | 66.0 | --- |
|  | 91 | 40079-16 | 32480196 | 5715557 | ENERCON | E-115 | 3.0 | 122.1 | 115.7 | --- |
|  | 92 | 40127-14. 40427-15 | 32484019 | 5711593 | Vestas | V112 | 3.3 | 140.0 | 112.0 | --- |
|  | 93 | 40151-14 | 32486289 | 5711224 | ENERCON | E-101 | 3.05 | 149.0 | 101.0 | --- |
|  | 94 | 40204-13 | 32488176 | 5711091 | ENERCON | E-82 E2 | 2.3 | 138.4 | 82.0 | --- |
|  | 95 | 40333-16 (6) | 32487389 | 5710158 | Nordex | N117 Delta | 3.0 | 141.0 | 116.8 | --- |
|  | 96 | 40338-13.40428-15 | 32479291 | 5710525 | Vestas | V112 | 3.0 | 140.0 | 112.0 | --- |
|  | 97 | 40406-14 (1)41229-15 | 32487663 | 5711152 | Nordex | N117 Gamma | 2.4 | 140.6 | 116.8 | --- |
|  | 98 | 40406-14 (3) | 32487984 | 5710672 | Nordex | N117 Gamma | 2.4 | 140.6 | 116.8 | --- |
|  | 99 | 40549-14 (1) | 32486607 | 5711694 | ENERCON | E-101 | 3.1 | 149.0 | 101.0 | --- |
|  | 100 | 40549-14 (3) | 32486002 | 5711793 | ENERCON | E-115 | 3.0 | 149.0 | 115.7 | --- |
|  | 101 | 40549-14(2).41719-15 | 32485631 | 5712424 | ENERCON | E-115 | 3.0 | 149.0 | 115.7 | --- |

| | Lfd. Nr. WEA | Bezeichnung | Koordinaten (UTM ETRS89/WGS84 Zone 32) | | Hersteller | WEA-Typ | P _N [MW] | NH [m] | RD [m] | Wind- Datensatz Nr. |
|---|-----------------|--------------------------|---|---------|------------|-----------|------------------------|-----------|-----------|------------------------|
| | | | East | North | | | | | | |
|  | 102 | 40787-16 (01) | 32487413 | 5707474 | ENERCON | E-115 | 3.0 | 149.1 | 115.7 | --- |
|  | 103 | 40787-16 (02) | 32487165 | 5706957 | ENERCON | E-126 EP4 | 4.2 | 135.0 | 127.0 | --- |
|  | 104 | 40910-15 | 32485252 | 5711886 | Senvion | MM100 | 2.0 | 100.0 | 100.0 | --- |
|  | 105 | 40913-15.41791- 15(6) | 32489862 | 5716128 | ENERCON | E-101 | 3.05 | 149.0 | 101.0 | --- |
|  | 106 | 41156-14 | 32485833 | 5712289 | ENERCON | E-70 E4 | 2.3 | 85.0 | 71.0 | --- |
|  | 107 | 41184-14 | 32486739 | 5711395 | Senvion | 3.0M122 | 2.97 | 139.0 | 122.0 | --- |
|  | 108 | 41383-16 (05) | 32485682 | 5708501 | ENERCON | E-82 E2 | 2.3 | 138.4 | 82.0 | --- |
|  | 109 | 41383-16 (06) | 32486498 | 5708544 | ENERCON | E-115 | 3.0 | 149.1 | 115.7 | --- |
|  | 110 | 41387 a -14 (3) | 32476859 | 5709392 | ENERCON | E-92 | 2.35 | 138.4 | 92.0 | --- |
|  | 111 | 41387 b -14 (4) | 32479562 | 5709916 | ENERCON | E-115 | 3.0 | 149.0 | 115.7 | --- |
|  | 112 | 41387 c -14 (1) | 32476433 | 5709532 | ENERCON | E-92 | 2.35 | 138.4 | 92.0 | --- |
|  | 113 | 41387 d-14 (5) | 32480040 | 5710968 | ENERCON | E-115 | 3.0 | 149.0 | 115.7 | --- |
|  | 114 | 41389-14 | 32485583 | 5711900 | ENERCON | E-115 | 3.0 | 149.0 | 115.7 | --- |
|  | 115 | 41478-15 (10) | 32485376 | 5711290 | ENERCON | E-115 | 3.0 | 149.1 | 115.7 | --- |
|  | 116 | 41478-15 (11) | 32485891 | 5711346 | ENERCON | E-115 | 3.0 | 149.1 | 115.7 | --- |
|  | 117 | 41478-15 (2) | 32483445 | 5710686 | ENERCON | E-115 | 3.0 | 149.1 | 115.7 | --- |



| | Lfd. Nr. WEA | Bezeichnung | Koordinaten (UTM ETRS89/WGS84 Zone 32) | | Hersteller | WEA-Typ | P _N [MW] | NH [m] | RD [m] | Wind- Datensatz Nr. |
|--|-----------------|--------------------|---|---------|------------|---------|------------------------|-----------|-----------|------------------------|
| | | | East | North | | | | | | |
| | 118 | 41478-15 (4) | 32483874 | 5711183 | ENERCON | E-115 | 3.0 | 149.1 | 115.7 | --- |
| | 119 | 41478-15 (9) | 32485332 | 5710823 | ENERCON | E-115 | 3.0 | 149.1 | 115.7 | --- |
| | 120 | 41600-14 | 32477644 | 5710158 | ENERCON | E-82 E2 | 2.3 | 108.4 | 82.0 | --- |
| | 121 | 41600-15 (1) | 32483076 | 5710886 | Vestas | V126 | 3.45 | 149.0 | 126.0 | --- |
| | 122 | 41600-15 (13) | 32486504 | 5710900 | Vestas | V126 | 3.3 | 149.0 | 126.0 | --- |
| | 123 | 41600-15 (5) | 32484270 | 5711073 | Vestas | V126 | 3.45 | 149.0 | 126.0 | --- |
| | 124 | 41600-15 (6) | 32484469 | 5711647 | Vestas | V126 | 3.45 | 149.0 | 126.0 | --- |
| | 125 | 41600-15 (7) | 32484886 | 5711601 | Vestas | V126 | 3.45 | 149.0 | 126.0 | --- |
| | 126 | 41600-15 (8) | 32484818 | 5711054 | Vestas | V126 | 3.45 | 149.0 | 126.0 | --- |
| | 127 | 41915-15 | 32487676 | 5713061 | Vestas | V126 | 3.45 | 149.0 | 126.0 | --- |
| | 128 | 41920-14. 41527-15 | 32479813 | 5711351 | Vestas | V112 | 3.3 | 119.0 | 112.0 | --- |
| | 129 | 41989-14 | 32485574 | 5713064 | ENERCON | E-115 | 3.0 | 149.0 | 115.7 | --- |
| | 130 | 42092-14 | 32479605 | 5710313 | ENERCON | E-82 E2 | 2.3 | 138.4 | 82.0 | --- |
| | 131 | 42123-14 | 32491581 | 5716149 | ENERCON | E-115 | 3.05 | 149.0 | 115.7 | --- |
| | 132 | 4215-99-04 | 32482888 | 5712273 | Vestas | V66 | 1.65 | 78.0 | 66.0 | --- |
| | 133 | 4216-99-04 | 32482677 | 5712447 | Vestas | V47 | 0.66 | 65.0 | 47.0 | --- |
| | 134 | 42259-15 (01) | 32487623 | 5713317 | Vestas | V126 | 3.45 | 149.0 | 126.0 | --- |

| | Lfd. Nr. WEA | Bezeichnung | Koordinaten (UTM ETRS89/WGS84 Zone 32) | | Hersteller | WEA-Typ | P _N [MW] | NH [m] | RD [m] | Wind- Datensatz Nr. |
|---|-----------------|----------------------|---|---------|------------|------------|------------------------|-----------|-----------|------------------------|
| | | | East | North | | | | | | |
|  | 135 | 42259-15 (03) | 32487365 | 5713013 | Vestas | V112 | 3.45 | 119.0 | 112.0 | --- |
|  | 136 | 42259-15 (08) | 32487159 | 5712641 | Vestas | V126 | 3.45 | 149.0 | 126.0 | --- |
|  | 137 | 42259-15 (09) | 32487031 | 5712999 | Vestas | V126 | 3.45 | 149.0 | 126.0 | --- |
|  | 138 | 42259-15 (10) | 32486431 | 5713297 | Vestas | V126 | 3.45 | 149.0 | 126.0 | --- |
|  | 139 | 42259-15 (11) | 32486085 | 5713485 | Vestas | V126 | 3.45 | 149.0 | 126.0 | --- |
|  | 140 | 42259-15 (12) | 32486190 | 5713033 | Vestas | V126 | 3.45 | 149.0 | 126.0 | --- |
|  | 141 | 42259-15 (13) | 32486179 | 5712692 | Vestas | V126 | 3.45 | 149.0 | 126.0 | --- |
|  | 142 | 42259-15 (14) | 32485799 | 5712804 | Vestas | V126 | 3.45 | 149.0 | 126.0 | --- |
|  | 143 | 42322-15 (04) | 32487584 | 5712319 | Vestas | V126 | 3.45 | 149.0 | 126.0 | --- |
|  | 144 | 42322-15 (05) | 32487487 | 5711937 | Vestas | V126 | 3.45 | 149.0 | 126.0 | --- |
|  | 145 | 42322-15 (06) | 32487476 | 5711574 | Vestas | V126 | 3.45 | 149.0 | 126.0 | --- |
|  | 146 | 42322-15 (07) | 32487250 | 5712341 | Vestas | V126 | 3.45 | 149.0 | 126.0 | --- |
|  | 147 | 42370-14 (4) | 32487490 | 5710462 | Nordex | N117 Gamma | 2.4 | 140.6 | 116.8 | --- |
|  | 148 | 42370-14 (5)41230-15 | 32487211 | 5711227 | Nordex | N117 Gamma | 2.4 | 140.6 | 116.8 | --- |
|  | 149 | 42385-14 (17) | 32490016 | 5715838 | ENERCON | E-101 | 3.05 | 149.0 | 101.0 | --- |
|  | 150 | 42385-14 (18) | 32490768 | 5716084 | ENERCON | E-115 | 3.0 | 149.0 | 115.7 | --- |

| | Lfd. Nr. WEA | Bezeichnung | Koordinaten (UTM ETRS89/WGS84 Zone 32) | | Hersteller | WEA-Typ | P _N [MW] | NH [m] | RD [m] | Wind- Datensatz Nr. |
|---|-----------------|----------------------|---|---------|------------|--------------|------------------------|-----------|-----------|------------------------|
| | | | East | North | | | | | | |
|  | 151 | 42385-14 (20) | 32491265 | 5715935 | ENERCON | E-92 | 2.35 | 138.4 | 92.0 | --- |
|  | 152 | 42438-14 | 32482381 | 5711546 | ENERCON | E-115 | 3.0 | 149.1 | 115.7 | --- |
|  | 153 | 42544-15 | 32482647 | 5711827 | ENERCON | E-82 E2 | 2.3 | 138.4 | 82.0 | --- |
|  | 154 | 42625-16 V (03) | 32485744 | 5706697 | ENERCON | E-141 EP4 | 4.2 | 159.0 | 141.0 | --- |
|  | 155 | 42625-16 V (04) | 32485806 | 5706306 | ENERCON | E-141 EP4 | 4.2 | 159.0 | 141.0 | --- |
|  | 156 | 42636-14 (2)41231-15 | 32488501 | 5710949 | Nordex | N117 Gamma | 2.4 | 140.6 | 116.8 | --- |
|  | 157 | 42659-14 | 32485429 | 5712668 | ENERCON | E-115 | 3.0 | 149.0 | 115.7 | --- |
|  | 158 | 545-00-04 | 32484076 | 5712098 | ENERCON | E-58/10.58 | 1.0 | 70.5 | 58.6 | --- |
|  | 159 | 722-94-04 | 32484057 | 5712548 | Nordtank | NTK 500/41 | 0.5 | 50.0 | 41.0 | --- |
|  | 160 | --- | 32481116 | 5711099 | Nordex | N149 | 4.5 | 164.0 | 149.1 | --- |
|  | 161 | WEA S1 Neu | 32479348 | 5710116 | ENERCON | E-138 EP3 E2 | 4.2 | 130.8 | 138.25 | --- |
|  | 162 | WEA 5 | 32480635 | 5710176 | ENERCON | E-138 EP3 E2 | 4.2 | 130.8 | 138.25 | --- |
|  | 163 | WEA 4N | 32480911 | 5710603 | ENERCON | E-160 EP5 E3 | 5.56 | 166.6 | 160.0 | --- |
|  | 164 | WEA 6N | 32481555 | 5710645 | ENERCON | E-160 EP5 E3 | 5.56 | 166.6 | 160.0 | 1 |

Alle Benennungen von WEA im Dokument beziehen sich auf die Nomenklatur von Spalte 2 (Lfd. Nr.) in Tabelle 3.3.1.

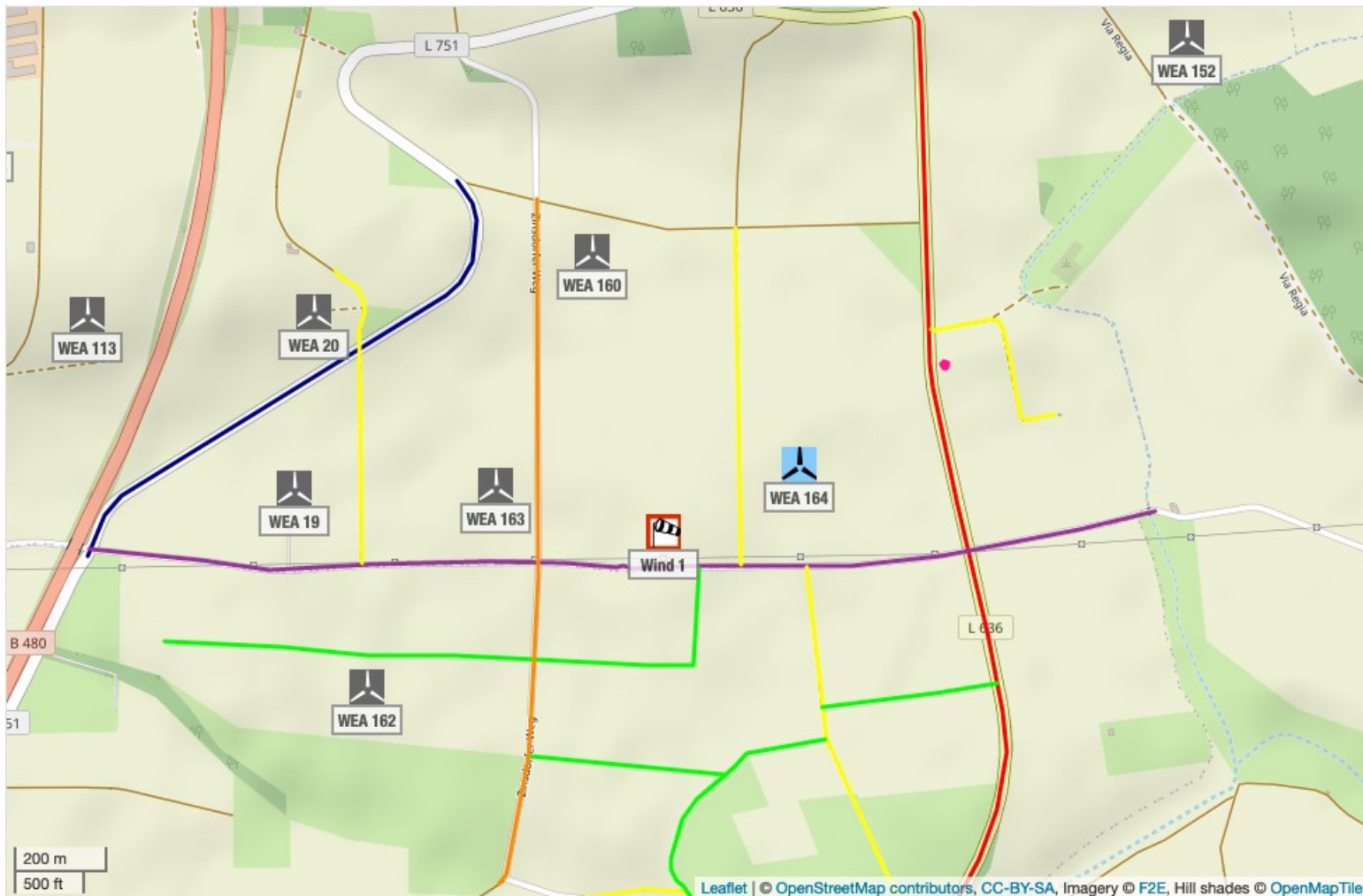






Abbildung 3.3.1:
Lage des Standortes,
Karte /1.4/.

-  zu bewertende WEA
-  zu berücksichtigende WEA
-  weitere WEA
-  Referenzpunkt der Winddaten

Schutzobjekte:

- blau: Landesstraße L751
- rot: Landesstraße L636
- violett: Hirschweg
- orange: Zinsdorfer Weg
- gelb: Wirtschaftsweg
- grün: Treckerwege
- pink: Aufenthaltsbereich Schuppen



3.4 Aufenthaltshäufigkeiten

Es werden im Folgenden die Aufenthaltshäufigkeiten und Verkehrsdaten aufgeführt, die in den nachfolgenden Risikobewertungen berücksichtigt werden.

Nach /3.2/ wurde am Zählpunkt auf der Landesstraße L636 zwischen Fürstenberg und Haaren eine Verkehrsbelastung von 2522 Kfz pro Tag ermittelt. Auf der Landesstraße L751 zwischen der Bundesstraße B480 und der Landesstraße L636 existiert kein Zählpunkt. Basierend auf der Verkehrsbelastung der angrenzenden Landesstraße wird von 2500 Kfz ausgegangen.

Auf den Landesstraßen existiert keine Geschwindigkeitsbegrenzung. Aufgrund von Straßenbeschaffenheit und -verlauf wird davon ausgegangen, dass die mittlere Fahrzeug-Geschwindigkeit bei 100km/h liegt.

Auf dem Zinsdorfer Weg und dem Hirschweg wird im Folgenden von einem Verkehrsaufkommen von 50 Kfz und einem zusätzlichen Personenaufkommen von 50 Personen pro Tag ausgegangen. Aufgrund der Nutzung wird hier von einer mittleren Fahrzeug-Geschwindigkeit von 30km/h ausgegangen.

Aufgrund von Weglänge und – Verlauf wird angenommen, dass ein individueller Fußgänger die Wege im Winter einmal pro Woche mit einer Geschwindigkeit von 5km/h nutzt. Als kritisches Individuum wird daher ein individueller Radfahrer betrachtet, der die Wege im Winter einmal täglich mit einer Geschwindigkeit von 15km/h nutzt.

Für die Wirtschaftswege wird von einem Verkehrsaufkommen von 10 Kfz und einem zusätzlichen Personenaufkommen von 10 Personen pro Tag ausgegangen. Aufgrund der Nutzung wird hier von einer mittleren Fahrzeug-Geschwindigkeit von 30km/h ausgegangen.

Auf den Treckerwegen wird im Folgenden von einem Verkehrsaufkommen von 1 Kfz und einem zusätzlichen Personenaufkommen von 5 Personen pro Tag ausgegangen. Aufgrund der Nutzung wird hier von einer mittleren Fahrzeug-Geschwindigkeit von 10 Kilometern pro Stunde ausgegangen.

Für die als kritische Individuen (siehe Kapitel 2.3.3) zu betrachtenden Fußgänger wird angenommen, dass ein individueller Fußgänger im Winter die Wirtschafts- und Treckerwege einmal täglich mit einer Geschwindigkeit von 5km/h nutzt.

Die Aufenthaltshäufigkeit von Personen im Bereich des Schuppens wurde im Winter mit einer Stunde pro Woche abgeschätzt. Dabei ist zu beachten, dass mangels anderer Informationen von einer homogenen Verteilung der Personen ausgegangen wird. Inwieweit dieser Ansatz im Vergleich zu einer realen Nutzung, bei der sich die



Personen eventuell auf bestimmte Teilflächen konzentrieren, konservativ ist, kann nicht bewertet werden.

3.5 Standortspezifische Grenzwerte für das kollektive Risiko

Für Bundesautobahnen, Bundesstraßen und Landesstraßen wurden die Grenzwerte auf Basis des vorhandenen Unfallrisikos bestimmt (siehe Kapitel 2.3.2). Tabelle 3.5.1 listet die standortspezifisch ermittelten oberen Grenzwerte für ein inakzeptables Risiko.

Die weiteren Risikobereiche gemäß Tabelle 2.3.3.1 liegen jeweils eine Zehnerpotenz niedriger und sind nicht extra aufgeführt.

Tabelle 3.5.1: Standortspezifische obere Risikogrenzwerte für das kollektive Risiko.

| Schutzobjekt | Kollektives Personenrisiko Grenzwert für ein inakzeptables Risiko |
|-------------------|--|
| Landesstraße L636 | $> 3.30 \cdot 10^{-3}$ (einmal in 303 Jahren) |
| Landesstraße L751 | $> 3.28 \cdot 10^{-3}$ (einmal in 305 Jahren) |

Für Kreisstraßen und sonstige Straßen, für die das kollektive Risiko maßgeblich ist, gilt der pauschale Grenzwert für das kollektive Personenrisiko von $1.0 \cdot 10^{-3}$ (siehe Kapitel 2.3.2).

3.6 Vereisungsrelevante WEA-Systeme

3.6.1 WEA-interne Eiserkennungssysteme

Für die WEA 164 ist das ENERCON-Eiserkennungssystem nach dem Leistungsverfahren noch in der Entwicklung /3.3/.

3.6.2 Optionale Eiserkennungssysteme

Die WEA 164 ist mit einem externen zertifizierten Eiserkennungssystem der Firma Wölfel /3.4/ ausgestattet.

Die Bewertung dieser Systeme ist nicht Bestandteil des Gutachtens. Gemäß /3.4/ liegen für die Systeme der Firma Wölfel–Nachweise vor, dass eine hinreichend sensible Erkennung von kritischen Eisansatz gegeben ist.



In /3.5/ wurde die Kompatibilität von IDD.Blade mit den ENERCON Betriebsführungs- und Sicherheitssystemen geprüft. Danach ist IDD.Blade als Eiserkennungssystem für Windenergieanlagen des Herstellers ENERCON geeignet.

Das verwendete System IDD.Blade zur Eiserkennung ist entsprechend der Richtlinie des Germanischen Lloyd für die Zertifizierung von Systemen zur Zustandsüberwachung von Windenergieanlagen /3.6/ typgeprüft /3.7/.

3.6.3 Systeme zur Prävention und Enteisung

Die betrachtete WEA ist nicht mit einem System zur Enteisung (de-icing) oder einem System zur Reduzierung von Vereisung (anti-icing) ausgestattet.

3.6.4 Betriebsführungssystem

Nach einer Abschaltung durch das Eiserkennungssystem geht die WEA in einen definierten Zustand. Angaben zu Trudeldrehzahlen, Blattstellung und Windnachführung der WEA wurden gemäß /3.8/ umgesetzt.

3.7 Risikoreduzierende Maßnahmen

Die im Anhang A dargestellten Ergebnisse berücksichtigen keine risikoreduzierenden Maßnahmen.

4 Durchgeführte Untersuchungen

4.1 Standortbesichtigung

Eine Standortbesichtigung ist im Rahmen der Bewertung des Risikos durch Eiswurf oder Eisfall nicht durch ein Regelwerk vorgeschrieben oder geregelt. Eine Standortbesichtigung empfiehlt sich, wenn die Situation vor Ort nicht ausreichend bekannt ist.

Im Rahmen der Standortbesichtigung werden die potentiellen Schutzobjekte vor Ort dokumentiert und besichtigt. Es werden Informationen zur Beschaffenheit der Schutzobjekte, wie z.B. Straßenbelag, Geschwindigkeitsbeschränkungen und Fahrverboten bei Verkehrswegen aufgenommen.

Werden im Rahmen der Standortbesichtigung weitere potentielle Schutzobjekte identifiziert, findet eine Berücksichtigung stets in Absprache mit dem Auftraggeber statt. Maßgeblich sind daher stets die in Kapitel 3.1 aufgeführten Schutzobjekte.

Die Standortbesichtigung dient nicht zur Bestimmung der Aufenthaltshäufigkeit von



Personen in oder auf Schutzobjekten, der Bestimmung der Frequentierung von Verkehrswegen, der Bestimmung der Klimatologie des Standortes oder der Verifizierung der Windparkkonfiguration.

Die Schutzobjekte vor Ort wurden in Abstimmung mit dem Auftraggeber festgelegt (siehe Kapitel 3.1). Aufgrund der vorhandenen Datenlage zu den Schutzobjekten wurde auf eine Standortbesichtigung verzichtet.

4.2 Vereisungsbedingungen am Standort

Die Vereisungshäufigkeit am Standort wurde entsprechend Kapitel 2.5 ermittelt.

Die Anzahl der insgesamt am Standort zu unterstellenden Eisstücke ergibt sich aus der Anzahl der Eisstücke pro Vereisungsereignis und der Anzahl der Vereisungstage.

Für die WEA ist konservativ davon auszugehen, dass es an allen Vereisungstagen zu einer vollständigen Vereisung der WEA kommt.

In Übereinstimmung mit /2.1/ kann die insgesamt zu berücksichtigende Eismasse abhängig von der Blattgeometrie anhand des Vereisungslastfalles der internationalen Richtlinie für WEA /2.4/ definiert werden. Unter Berücksichtigung der durchschnittlichen Masse der Eisstücke lässt sich daraus eine Anzahl Eisstücke pro Vereisung ableiten.

Damit ergeben sich am Standort Hirschweg WEA 6N die in Tabelle 4.2.1 dargestellten Vereisungsbedingungen.

Tabelle 4.2.1: Vereisungsbedingungen am Standort Hirschweg WEA 6N .

| Lfd. Nr. WEA | Vereisungs- häufigkeit [%] | Vereisungstage pro Jahr | Eisstücke pro Jahr pro WEA | |
|-----------------|-------------------------------|----------------------------|----------------------------|---------|
| | | | Eisfall | Eiswurf |
| 164 | 2.8 | 10.3 | 1963 | --- |

4.3 Ermittlung der potentiellen Gefährdungsbereiche

Die potentiellen Gefährdungsbereiche der WEA vom 1.5fachen der Summe aus Nabenhöhe und Rotordurchmesser (siehe Kapitel 2.2) sind in Abbildung 4.3.1 dargestellt.

Für die zu bewertende WEA 164 sind die zu betrachtenden Schutzobjekte, die im potentiellen Gefährdungsbereich der WEA liegen, in Tabelle 4.3.1 aufgeführt.

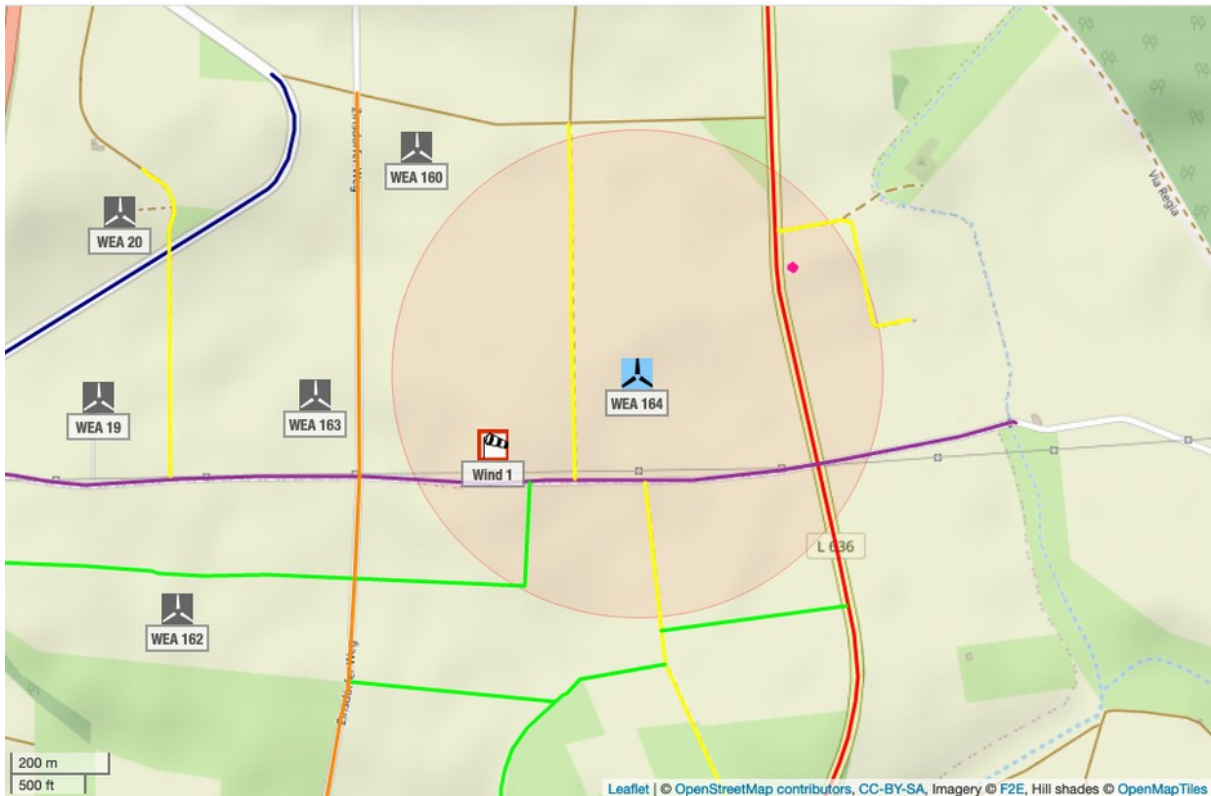



Abbildung 4.3.1: Potentieller Gefährdungsbereich der WEA 164 und Schutzobjekte am Standort Hirschweg WEA 6N (Karte /1.4/).

Tabelle 4.3.1: Zu betrachtende Schutzobjekte.

| | Lfd.Nr. WEA | Bezeichnung | Potentieller Gefährdungsbereich | |
|---|----------------|-------------|---------------------------------|--------------------------|
| | | | Radius [m] | Schutzobjekte im Bereich |
|  | 164 | WEA 6N | 489.9 | Landesstraße L636 |
| | | | | Hirschweg |
| | | | | Wirtschaftswege |
| | | | | Treckerwege |
| | | | | Schuppen |

Die Landesstraße L751 und der Zinsdorfer Weg liegen nicht im potentiellen Gefährdungsbereich der WEA. Eine weitere Betrachtung dieser Schutzobjekte ist im Rahmen der Risikobewertung daher nicht erforderlich.

Bei den WEA 1 – 6, 9 – 75 und 78 - 163 handelt es sich um bereits bestehende WEA, deren Gefährdung im Rahmen dieses Gutachtens nicht zu bewerten ist.

Wenn die Gefährdungsbereiche einzelner WEA sich überlappen (siehe Kapitel 2.3.5),



wird das Risiko der relevanten benachbarten WEA entsprechend berücksichtigt.

Wenn entlang eines Weges die Gefährdungsbereiche der geplanten und der bestehenden WEA passiert werden (siehe Kapitel 2.3.5), wird das Risiko der betreffenden bestehenden WEA entsprechend berücksichtigt.

4.4 Eiswurf

Aufgrund der vorhandenen Systeme zur Eiserkennung kann der Betrieb bei potentiell gefährlichem Eisansatz weitestgehend ausgeschlossen werden. Für diese WEA ist daher eine Gefährdung durch Eiswurf standortspezifisch nicht zu betrachten.

4.5 Eisfall

Entsprechend Kapitel 2.2 ist eine Gefährdung durch Eisfall für Personen in der Umgebung der WEA 164 standortspezifisch zu betrachten, auch wenn eines der in Kapitel 3.6 genannten Systeme zur Eiserkennung zu diesem Zweck genutzt wird.

Aus der in Kapitel 4.2 ermittelten Gesamtanzahl von Eisstücken, der Windgeschwindigkeitsverteilung gemäß Tabelle 3.2.1, der Geometrie und Betriebsweise der WEA sowie der Topografie am Standort, ergeben sich in der Umgebung einer WEA für jeden Punkt unterschiedliche Trefferhäufigkeiten von Eisstücken. Auf Basis dieser Trefferhäufigkeiten ist die spezifische Gefährdung von Personen abhängig von der Wegstrecke, die die Personen bzw. die mit Personen besetzten Fahrzeuge in der Umgebung der WEA nehmen, der Geschwindigkeit, mit der sie sich fortbewegen sowie der Häufigkeit, mit der ein bestimmter Weg genommen wird. Verkehrswege und andere Freiflächen bzw. Gebäude, die keinen Schutz gegen Eisstücke bieten, unterscheiden sich an dieser Stelle nur dahingehend, dass die Wegstrecke bei Verkehrswegen deutlich vorgegeben ist, während sie bei Freiflächen typischerweise durch eine allgemeine Aufenthaltshäufigkeit ersetzt wird.

Eine spezifische Gefährdung lässt sich daher nicht in Form einer Gefährdungskarte in der Umgebung einer WEA darstellen, da für jeden Punkt in der Umgebung einer WEA theoretisch unendlich viele Szenarien denkbar sind. Die Gefährdung ist daher stets in Bezug zu einem Schutzobjekt unter Berücksichtigung der genannten Randbedingungen zu ermitteln.

Wie in Kapitel 2.3 dargestellt, erfolgt die Bewertung des individuellen und kollektiven Risikos durch eine Einteilung in vier Bereiche von inakzeptabel bis allgemein akzeptabel. Damit ergeben sich bezogen auf die betrachteten WEA folgende Ergebnisse für das Szenario Eisfall.

Es ist in Tabelle 4.5.1 jeweils nur das in Abhängigkeit von der Aufenthaltshäufigkeit



von Personen zu betrachtende Risiko dargestellt (siehe Kapitel 2.3).

Sind gemäß Kapitel 2.3.5 Risiken verschiedener WEA zu addieren, wird die Bewertung der addierten Risiken in Tabelle 4.5.1 gesondert aufgeführt.

Tabelle 4.5.1: Gefährdung durch Eisfall am Standort Hirschweg WEA 6N.

| Bewertung der Gefährdung durch Eisfall aller Schutzobjekte im Bereich der WEA | | | |
|---|-------------------|----------------------------|---|
| Lfd. Nr. WEA | Schutzobjekt | Kollektives Personenrisiko | Individuelles Personenrisiko |
| 164 | Landesstraße L636 | --- | --- |
| | Hirschweg | --- | allgemein akzeptabel |
| | Wirtschaftswege | --- | tolerierbar - Maßnahmen in der Regel nicht erforderlich |
| | Treckerwege | --- | --- |
| | Schuppen | --- | --- |

*: Die Ergebnisse zeigen, dass das Schutzobjekt nicht von Eisstücken der WEA getroffen wird.

Da die Risiken der WEA 164 bezüglich des Hirschwegs und der Wirtschaftswege im allgemein akzeptablen Bereich bzw. mehr als eine Größenordnung unter den Grenzwerten liegen, ist eine weitere Betrachtung addierter Risiken (siehe auch Kapitel 2.3.5) innerhalb des Windparks nicht erforderlich.

Details der zugrunde liegenden Berechnungen sind im Anhang A dargestellt.

5 Weitere Maßnahmen

Da die zugrunde gelegten Risikogrenzwerte am Standort Hirschweg WEA 6N in den betrachteten Fällen deutlich unterschritten werden bzw. im unteren tolerierbaren ALARP-Bereich liegen, sind weitere risikomindernde Maßnahmen nicht erforderlich.



6 Zusammenfassung

Die Fluid & Energy Engineering GmbH & Co. KG ist beauftragt worden, die vorliegende Windparkkonfiguration hinsichtlich einer Gefährdung durch Eiswurf und Eisfall ausgehend von den stillstehenden (trudelnden) bzw. in Betrieb befindlichen WEA zu betrachten und zu bewerten.

Als Schutzobjekte wurden die Landesstraßen L751 und L636, der Hirschweg, der Zinsdorfer Weg, verschiedene Wirtschaftswege und Treckerwege sowie ein Schuppen in der Nachbarschaft der WEA definiert.

6.1 Potentielle Gefährdungsbereiche

Der potentielle Gefährdungsbereich der WEA 164 überschneidet die Schutzobjekte Landesstraße L636, Hirschweg, Wirtschaftswege, Treckerwege und Schuppen. Die WEA 164 ist daher in der weiteren Risikobewertung zu betrachten.

Die Schutzobjekte Landesstraße L751 und Zinsdorfer Weg befinden sich nicht im potentiellen Gefährdungsbereich der WEA 164. Eine weitere Betrachtung dieser Schutzobjekte ist im Rahmen der Risikobetrachtung daher nicht erforderlich.

6.2 Eiswurf

Abschließend kann festgestellt werden, dass aufgrund der vorhandenen Systeme zur Eiserkennung eine Gefährdung durch Eiswurf von den betrachteten WEA ausgeschlossen werden kann.

6.3 Eisfall

Die abschließende Bewertung des Risikos durch Eisfall ist in Tabelle 6.3.1 für alle WEA bezüglich der relevanten Schutzobjekte dargestellt. Aufgeführt werden dabei nur die Schutzobjekte, die von der jeweiligen WEA getroffen werden.

Schutzobjekte, die nicht von Eisstücken der WEA getroffen werden, sind in Tabelle 6.3.1 nicht mit aufgeführt. Dies betrifft im vorliegenden Fall die Landesstraße L636, die Treckerwege und den Schuppen.

WEA, in deren potentiellen Gefährdungsbereich (siehe Tabelle 4.3.1) bzw. in deren standortspezifisch ermittelten Gefährdungsbereich (siehe Anhang A) keine Schutzobjekte liegen, sind in Tabelle 6.3.1 nicht mit aufgeführt.

Maßnahmen, die in den Berechnungen berücksichtigt wurden und entsprechend für die getroffene Aussage unabdingbar sind, werden in der Spalte „Maßnahmen - erforderlich“ aufgeführt.



Maßnahmen, die umgesetzt werden sollten, weil das Risiko im oberen ALARP-Bereich (siehe Kapitel 2.3) liegt, werden in der Spalte „Maßnahmen - empfohlen“ aufgeführt.

Table 6.3.1: Bewertung des Eisfallrisikos.

| Lfd. Nr. WEA | Schutzobjekt | Risiko- bewertung | Maßnahmen | |
|-----------------|-----------------|----------------------|--------------|-----------|
| | | | erforderlich | empfohlen |
| 164 | Hirschweg | akzeptabel | --- | --- |
| | Wirtschaftswege | tolerierbar | --- | --- |

7 Formelzeichen und Abkürzungen

| | | |
|----------|---|-------|
| WEA | Windenergieanlage | |
| RD | Rotordurchmesser | |
| NH | Nabenhöhe | |
| ETRS89 | Europäisches Terrestrisches Referenzsystem 1989 | |
| UTM | Universale Transversale Mercator Projektion | |
| WGS84 | World Geodetic System 1984 | |
| ü. NN | über Normalnull | |
| MEM | Minimale endogen Sterblichkeit | |
| Kfz | Kraftfahrzeug | |
| A | Skalierungsparameter der Weibull-Verteilung | [m/s] |
| k | Formparameter der Weibullverteilung | [-] |
| v | Windgeschwindigkeit | [m/s] |
| h | Höhe | [m] |
| Θ | Azimutwinkel | [°] |



8 Literaturangaben

Allgemein

- /1.1/ Bengt Tammelin et. al.; Wind Energy Production in Cold climates; Meteorological publications No.41, Finnish Meteorological Institute, Helsinki, Finland, February 2000.
- /1.2/ International Energy Agency (IEA), IEA Wind Task 19, State-of-the-Art of Wind Energy in Cold Climates, Edition October 2012.
- /1.3/ Berichte der Bundesanstalt für Straßenwesen; Verkehrstechnik Heft V 291, Fahrleistungserhebung 2014 – Inlandsfahrleistung und Unfallrisiko; Bergisch Gladbach, August 2017.
- /1.4/ OpenStreetMap und Mitwirkende; siehe Internet: <http://www.openstreetmap.org>, <http://opendatacommons.org>, <http://creativecommons.org>.
- /1.5/ Jarvis A., H.I. Reuter, A. Nelson, E. Guevara, 2006, Hole-filled seamless SRTM data V3, International Centre for Tropical Agriculture (CIAT).
- /1.6/ Bundesministerium für Verkehr, Bau und Stadtentwicklung; Mobilität in Deutschland 2008; Ergebnisbericht, Struktur – Aufkommen – Emissionen – Trends; Bonn und Berlin, Februar 2010.
- /1.7/ Schneider J., Schlatter H. P.; Sicherheit und Zuverlässigkeit im Bauwesen - Grundwissen für Ingenieure; 1. Auflage, B. G. Teubner, Stuttgart, 1994.
- /1.8/ Wichura, B., 2013. The Spatial Distribution of Icing in Germany Estimated by the Analysis of Weather Station Data and of Direct Measurements of Icing, Proceedings of the 15th International Workshop On Atmospheric Icing Of Structures (IWAIS 2013). Compusult Ltd., St. John's, Newfoundland and Labrador, September 8-11, 2013, pp. 303-309.
- /1.9/ HSE, Health and safety Executive. (n.d.); Risk analyses or 'predictive' aspects of comah safety reports guidance for explosives sites - The COMAH Safety Report Process for Predictive Assessment of Explosives Sites, downloaded 2014-08-21; Retrieved from <http://www.hse.gov.uk/comah/>
- /1.10/ Oliver J., Creighton P.; Road Accidents, Bicycle injuries and helmet use: a systematic review and meta-analysis; International Journal of Epidemiology, 2017, 278-292.

Normen

- /2.1/ International Energy Agency (IEA), IEA Wind TCP Task 19; International Recommendations for Ice Fall and Ice Throw Risk Assessments; October 2018.
- /2.2/ Deutsches Institut für Bautechnik (DIBt), Muster-Liste der Technischen Baubestimmungen - Fassung Juni 2015 bzw. Muster-Verwaltungsvorschrift Technische Baubestimmungen (MVB TB) Ausgabe 2019/1 mit Druckfehlerberichtigung vom 7. August 2020.
- /2.3/ DIN EN 50126; Bahnanwendungen – Spezifikation und Nachweis der Zuverlässigkeit, Verfügbarkeit, Instandhaltbarkeit und Sicherheit (RAMS); Deutsches Institut für Normung e.V., März 2000.
- /2.4/ International Electrotechnical Commission (IEC); IEC 61400-1, Wind energy generation



systems - Part 1: Design requirements; Edition 4, 2019-12; Geneva, Switzerland (Deutsche Fassung: Deutsches Institut für Normung e.V.; DIN EN IEC 61400-1 (VDE 0127-1); Windenergieanlagen – Teil 1: Auslegungsanforderungen (IEC 61400-1:2019); Dezember 2019; Berlin, Deutschland).

Projektspezifisch

- /3.1/ anemos Gesellschaft für Umweltmeteorologie mbH; anemos Windatlas für Deutschland, <https://awis.anemos.de/>, Winddaten zum Standort Hirschweg WEA 6N heruntergeladen am 24.01.2022.
- /3.2/ Ministerium für Bauen, Wohnen, Stadtentwicklung und Verkehr des Landes Nordrhein-Westfalen; Verkehrsstärken Nordrhein-Westfalen, Straßenverkehrszählung 2015 an den Straßen des überörtlichen Verkehrs; siehe Internet: <https://www.vm.nrw.de/verkehr/strasse/Strassenverkehr/Verkehrsaehlungen/index.php>, abgerufen am 09.02.2022.
- /3.3/ ENERCON GmbH; Technische Beschreibung ENERCON Eisansatzerkennung ENERCON Windenergieanlagen; Dokument D0154407-10.1, 2021-02-23.
- /3.4/ ENERCON GmbH; Technische Beschreibung, Eisansatzerkennung, ENERCON Windenergieanlagen EP5; Dokument D0827984/3.1-de, 25.01.2021.
- /3.5/ TÜV NORD EnSys GmbH & Co. KG; Gutachten zur Einbindung eines Eiserkennungssystems Typ IDD.Blade in Lagerwey / ENERCON Windenergieanlagen TÜV NORD Bericht-Nr.: 8117075038 Rev. 2; Hamburg, 03.12.2020.
- /3.6/ DNV GL AS; Certification of condition monitoring, DNVGL-SE-0439:2016-06; June 2016.
- /3.7/ DNV-GL; Type Certificate, Ice Detection System IDD.BLade; Certificate No. TC-DNVGL-SE-0439-03577-2; Hamburg, 2021-06-12.
- /3.8/ ENERCON GmbH; Angaben zum Trudelbetrieb nach Abschaltung wegen Eisansatz; per E-Mail am 18.12.2019, 06.01.2020, 04.03.2020 und 22.6.2021.



Anhang A: Detaillierte Berechnungsergebnisse Eisfall

A.1 Berechnung der Auftreffhäufigkeiten

Tabelle A.1.1 listet die maximal erreichte Flugweite der Bruchstücke bezogen auf den Fußpunkt der WEA auf.

Tabelle A.1.1: Maximale Flugweite der betrachteten Eisstücke am Standort Hirschweg WEA 6N.

| Lfd. Nr. WEA | Maximale Flugweite [m] |
|-----------------|------------------------|
| 164 | 296.2 |

In der Abbildung A.1.1 sind die für die Umgebung der WEA resultierenden Treffer pro 16 Quadratmeter und Jahr dargestellt.

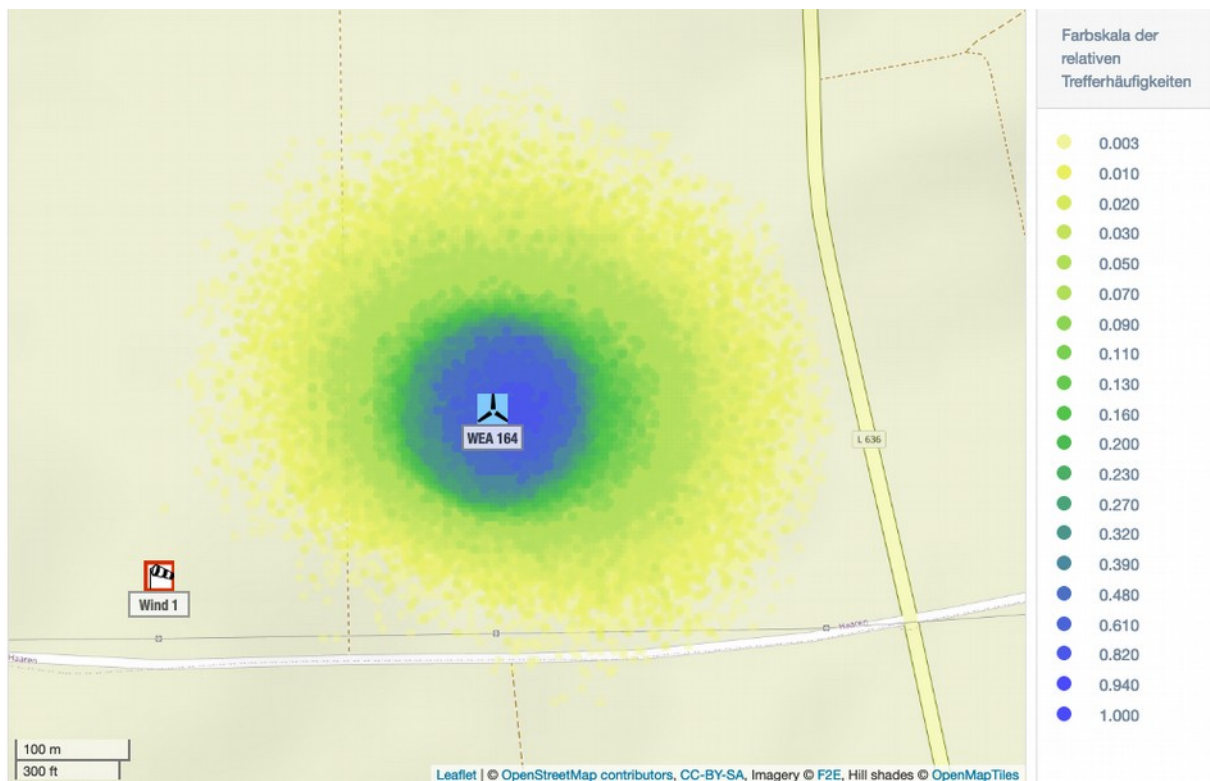


Abbildung A.1.1: Trefferhäufigkeiten von Eisstücken pro Rasterfläche (16m²) und Jahr in der Umgebung der WEA 164 am Standort Hirschweg WEA 6N (Karte /1.4/).



A.2 Schadenshäufigkeiten

Aus den ermittelten Flugbahnen ergeben sich für die Schutzobjekte im Gefährdungsbereich der zu bewertenden WEA die in Tabelle A.2.1 aufgeführten Randbedingungen.

Tabelle A.2.1: Randbedingungen für die Bewertung von Sach- bzw. Personenschäden am Standort Hirschweg WEA 6N.

| Lfd. Nr. WEA | Schutzobjekt | Anzahl Treffer pro Jahr |
|-----------------|-------------------|-------------------------------|
| 164 | Landesstraße L636 | 0.0 |
| | Hirschweg | 0.02 |
| | Wirtschaftswege | 4.2 |
| | Treckerwege | 0.0 |
| | Schuppen | 0.0 |

Die Landesstraße L636, die Treckerwege und der Schuppen werden nicht von Eisstücken getroffen.

Für die Bewertung von Personenschäden wird davon ausgegangen, dass jedes Kfz im Mittel mit 1.5 Personen besetzt ist. Dies entspricht der durchschnittlichen Besetzungszahl von Pkw in Deutschland /1.6/. Eine infolge eines Treffers durch Eis resultierende Verkettung von Unfällen wurde nicht betrachtet.

Mit den genannten Ausführungen ergeben sich die in Tabelle A.2.2 aufgelisteten Unfallhäufigkeiten bzw. Risiken.

Das in Abhängigkeit von der Aufenthaltshäufigkeit von Personen zu betrachtende Risiko ist in Tabelle A.2.2 jeweils fett gedruckt.

Relevante Überschreitungen der Risikogrenzwerte gemäß Tabelle 2.3.3.1 bzw. Werte im ALARP-Bereich, die eventuell weitere Maßnahmen erfordern, treten in Tabelle A.2.2 nicht auf.



Table A.2.2: Kollektive und individuelle Risiken für Personenschäden am Standort Hirschweg WEA 6N.

| Lfd. Nr. WEA | Schutzobjekt | Kollektives Personenrisiko | Individuelles Personenrisiko |
|--------------|-----------------|--|---|
| 164 | Hirschweg | $3.21 \cdot 10^{-8}$ (einmal in 31.1 Mio. Jahren) | $3.67 \cdot 10^{-10}$ (einmal in 2.7 Mrd. Jahren) |
| | Wirtschaftswege | $3.47 \cdot 10^{-6}$ (einmal in 287 000 Jahren) | $2.78 \cdot 10^{-7}$ (einmal in 3.5 Mio. Jahren) |